

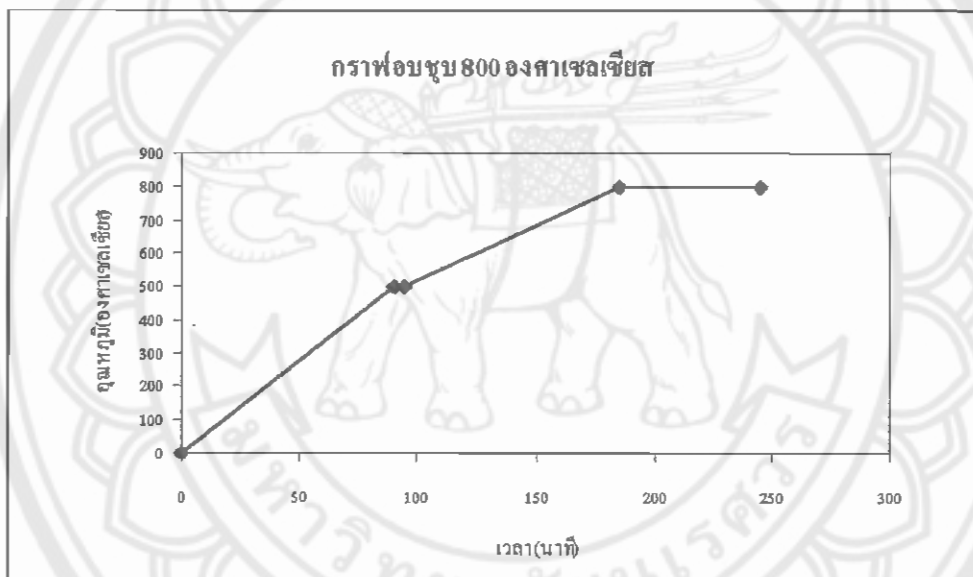
## บทที่ 4

### การวิจัยและผลของการวิจัย

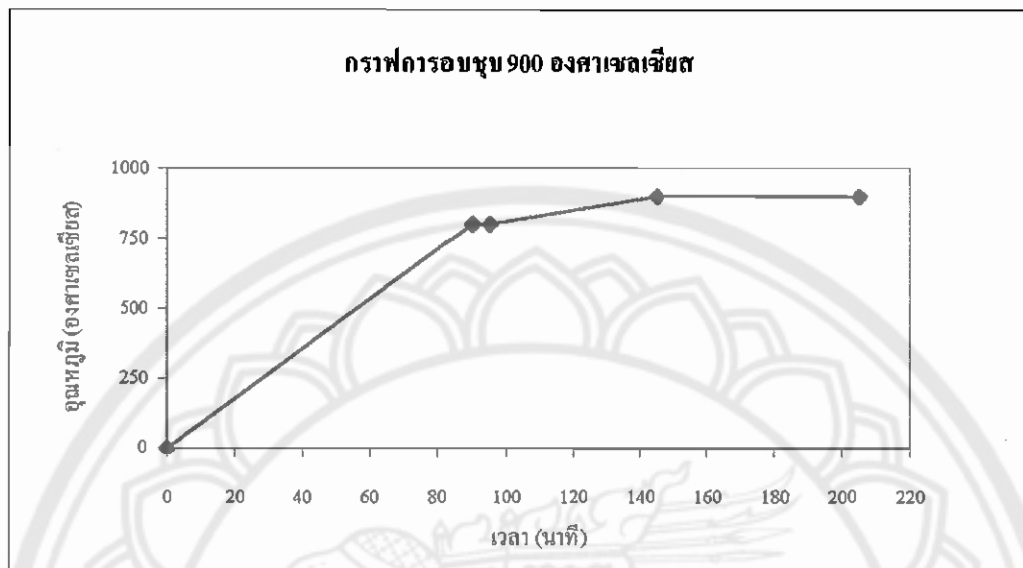
#### 4.1 การชุมชน

##### 4.1.1 วิธีการชุมชน

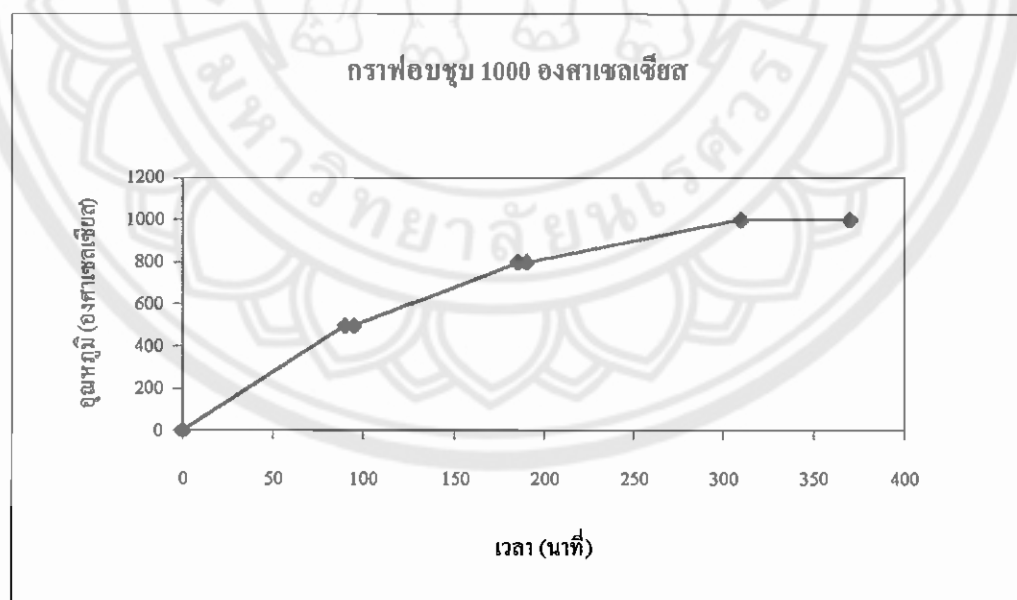
4.1.1.1 ตัวอย่างการออบชุมนุม ดังแสดงในรูปที่ 4.1



รูปที่ 4.1 กราฟการออบชุมนุม 800 องศาละลีบส์



รูปที่ 4.2 กราฟการอบชูน 900 องศาเซลเซียส



รูปที่ 4.3 กราฟการอบชูน 1,000 องศาเซลเซียส

- 4.1.1.2 ใส่ชิ้นงานเข้าเตา ปิดเตาให้สนิทและถูกต้อง และเริ่มโปรแกรมการอบชูบ  
 4.1.1.3 เตรียมน้ำ , น้ำเกลือ (ความเข้มข้น 10% ) และน้ำมัน เพื่อใช้ในการเย็นคัวของชิ้น

งาน

- 4.1.1.4 เมื่อเตาเผาเหล็กจนถึงอุณหภูมิที่ต้องการตามโปรแกรมที่ตั้งไว้ ทิ้งไว้ที่อุณหภูมิน้ำหนาหนึ่ง แล้วจึงนำเหล็กมาทำการชูบแข็งในน้ำ , น้ำเกลือ หรือน้ำมัน ต่อไปตามประเภทของ การอบชูบ

ขั้นตอนการเตรียม

- ก) นำปืนที่เหมือนกันมา 3 ใบ แล้วตัดฝ่าปืนออกด้านหนึ่ง ทั้ง 3 ใบ
- ข) เตรียมน้ำเกลือความเข้มข้น 10%
- ค) ดวงน้ำ , น้ำมัน และน้ำเกลือ (ใช้บีกเกอร์) ใส่ในแต่ละปืน ให้ได้ปริมาตรเท่า กันทั้ง 3 ปืน

- 4.1.1.5 ปล่อยให้เหล็กเย็นคัวลงในตัวกลางเป็นเวลา 1 วัน แล้วนำไปทดสอบคุณสมบัติ ของวัสดุ

หมายเหตุ : ต่อไปทำซ้ำเช่นเดียว โดยเปลี่ยนการตั้งโปรแกรมการอบชูบ เป็นคังรูปที่ 4.2 และ 4.3

## 4.2 การศึกษาโครงสร้างจุลภาค

### 4.2.1 จุดประสงค์

- 4.2.1.1 เพื่อทราบหลักการทำงานและวิธีการศึกษาโครงสร้างจุลภาคของโลหะ

- 4.2.1.2 เพื่อศึกษาขนาด รูปร่าง และการจัดเรียงตัวของอะตอมภายในผลึกของเหล็กทั้ง ก่อนและหลังจากผ่านการอบชูบ

### 4.2.2 อุปกรณ์

- 4.2.2.1 ชิ้นงานทดสอบ

- 4.2.2.2 กระดาษทราย

4.2.2.3 ผงอลูมิն่า

4.2.2.4 เครื่องขัดซีนงาน

4.2.2.5 กรด ( $\text{HNO}_3$  5% และ Methand 95%)

4.2.2.6 กล้องทางโลหะวิทยา

4.2.2.7 ทิว, วีดีโอ และพิล์ม

4.2.3 วิธีการทดสอบ

4.2.3.1 ขัดซีนงานด้วยกระดาษทรายเบอร์ 180 หลังจากนั้นเปลี่ยนเป็น 360 , 600 , 800 และ 1,000 ตามลำดับ

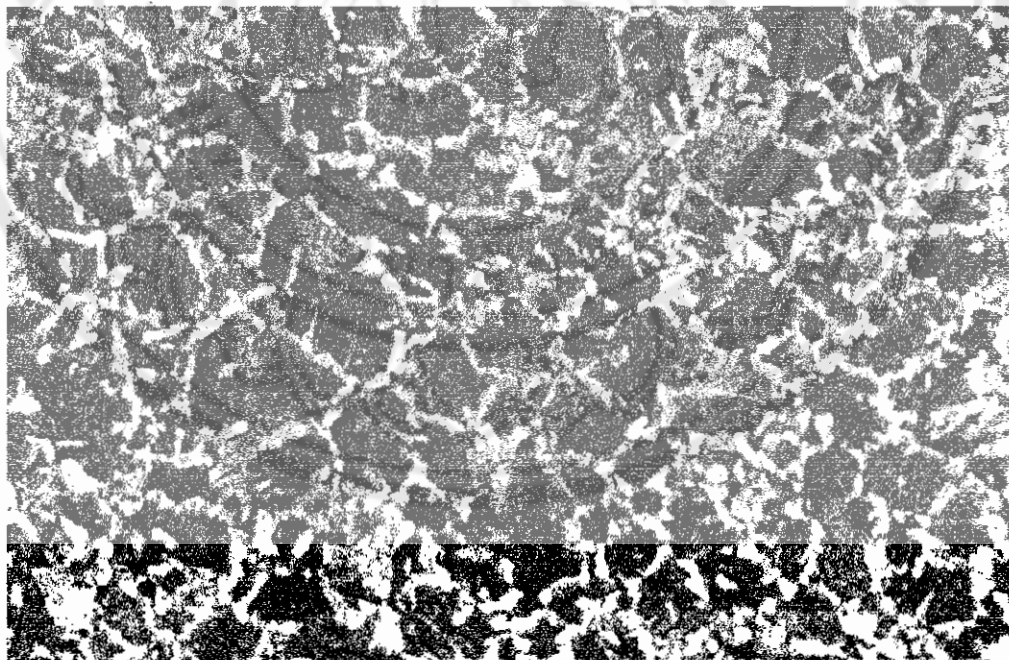
4.2.3.2 ขัดมันคี้ด้วยผ้ากำมะหยี่ ผงที่ใช้ขัดมันคือ อลูมิն่า ( $\text{Al}_2\text{O}_3$ ) โดยละลายในน้ำก่อนการใช้งาน

4.2.3.3 กัดผิวชิ้นงานกรด ( $\text{HNO}_3$  5% + Methand 95%)

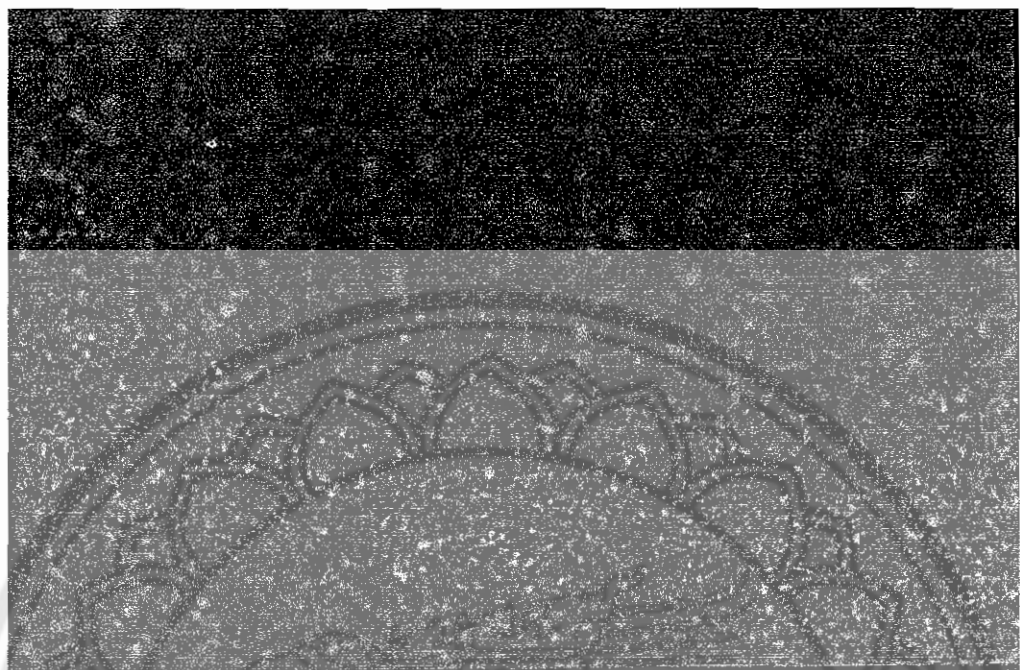
4.2.3.4 เช็คซีนงานด้วยกระดาษทิชชู

4.2.3.5 นำชิ้นงานไปส่องคูโตรงสร้างด้วยกล้องจุลทรรศน์

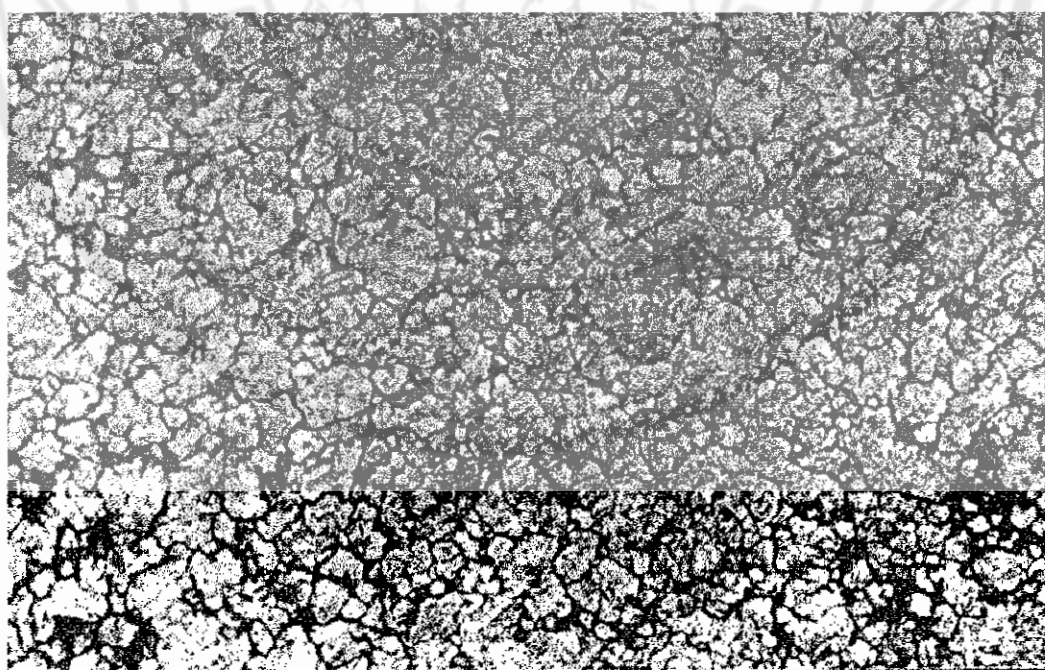
4.2.4 ผลการทดสอบ



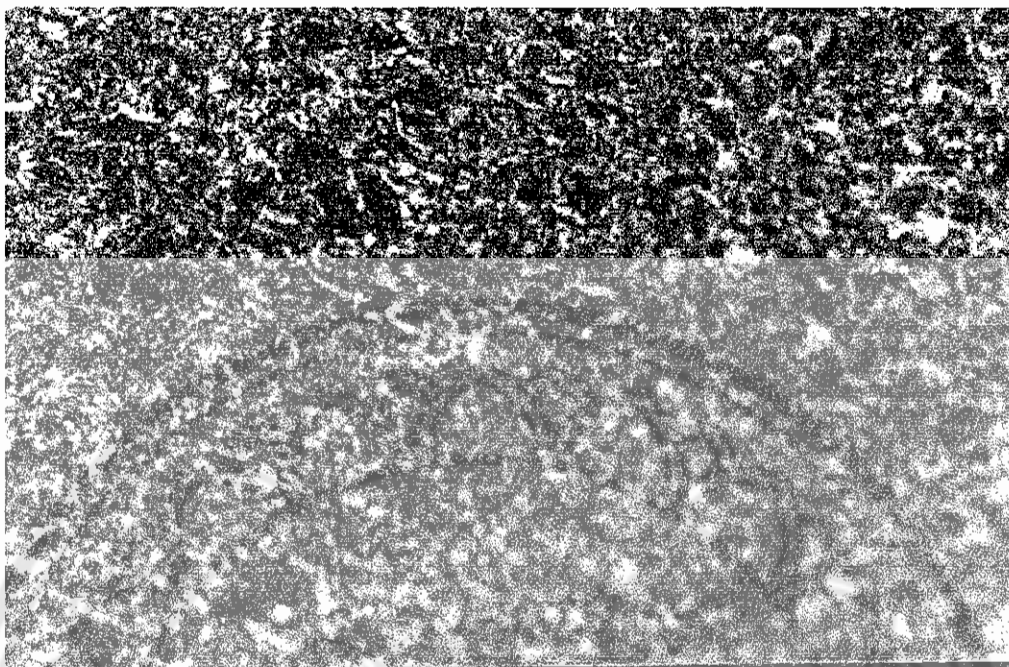
รูปที่ 4.4 โครงสร้างจุลภาคเหล็กที่ไม่ได้ทำการขูบเป็น



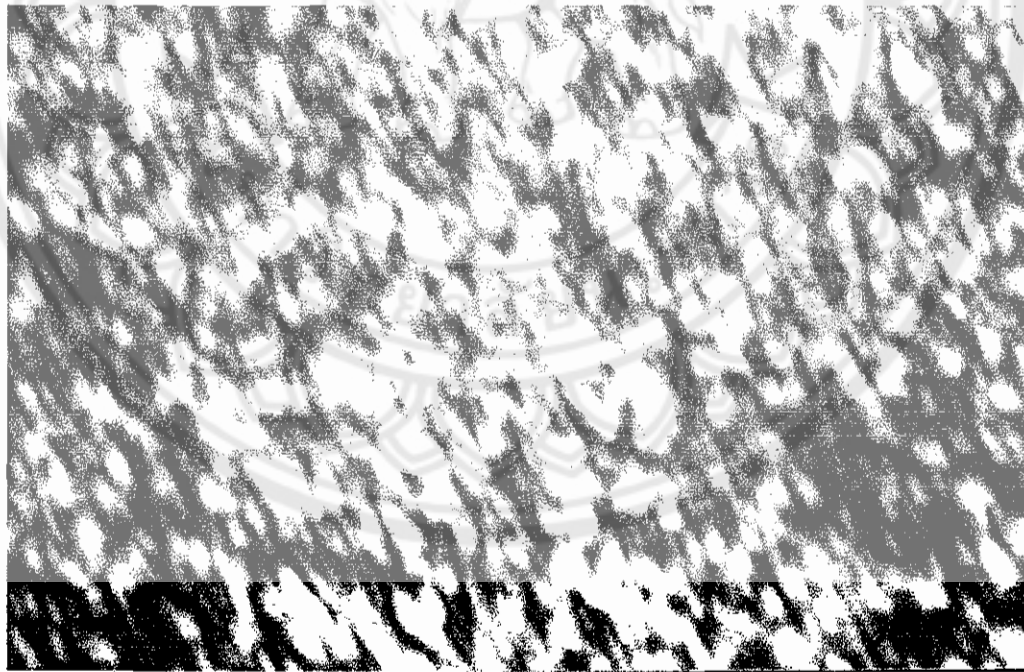
รูปที่ 4.5 โครงสร้างจุลภาคเหล็กที่ผ่านการชุนแข็งที่อุณหภูมิ  $800^{\circ}\text{C}$  ในน้ำมัน



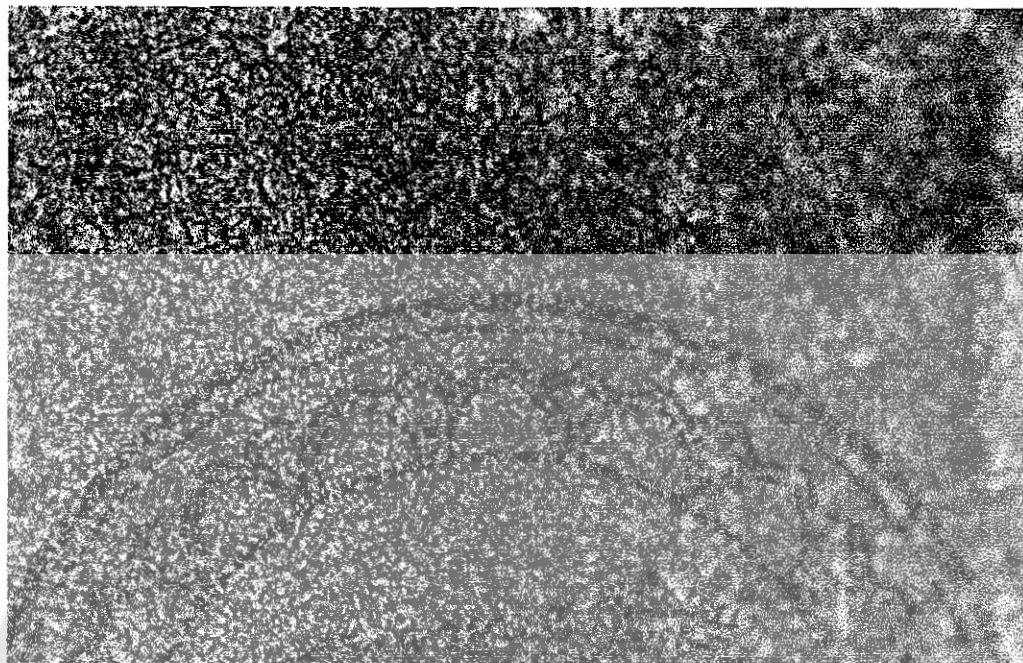
รูปที่ 4.6 โครงสร้างจุลภาคเหล็กที่ผ่านการชุนแข็งที่อุณหภูมิ  $900^{\circ}\text{C}$  ในน้ำมัน



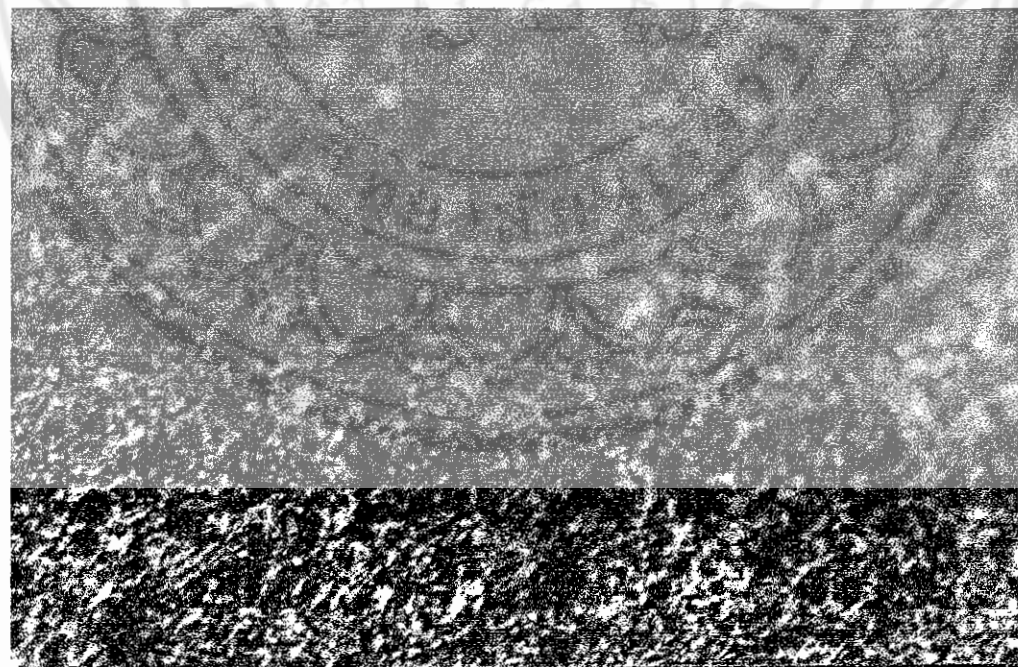
รูปที่ 4.7 โครงสร้างจุลภาคเหล็กที่ผ่านการชุบแข็งที่อุณหภูมิ  $1,000^{\circ}\text{C}$  ในน้ำมัน



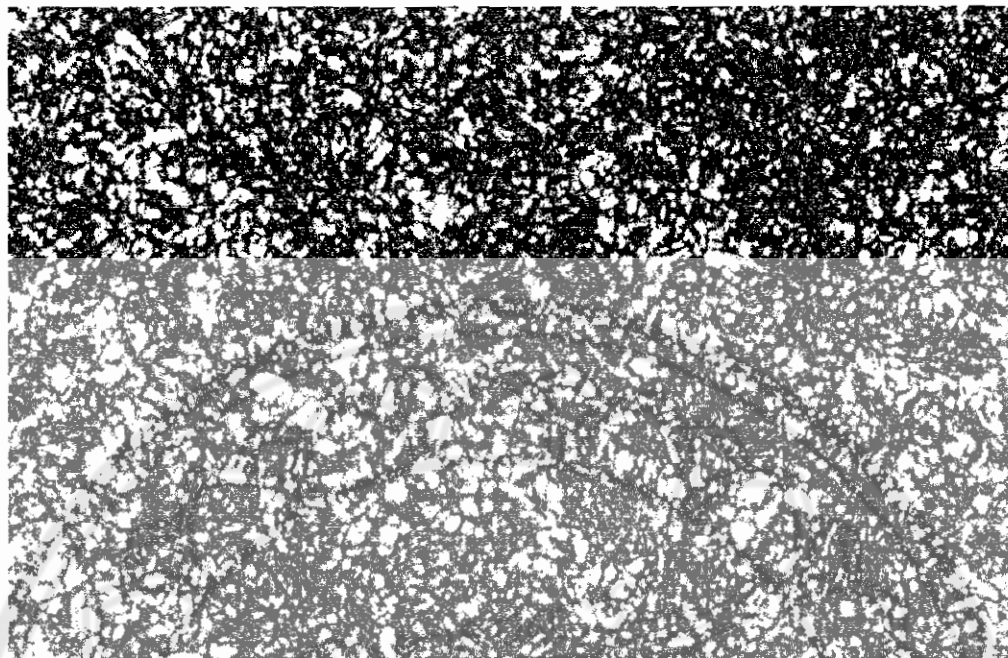
รูปที่ 4.8 โครงสร้างจุลภาคเหล็กที่ผ่านการชุบแข็งที่อุณหภูมิ  $800^{\circ}\text{C}$  ในน้ำ



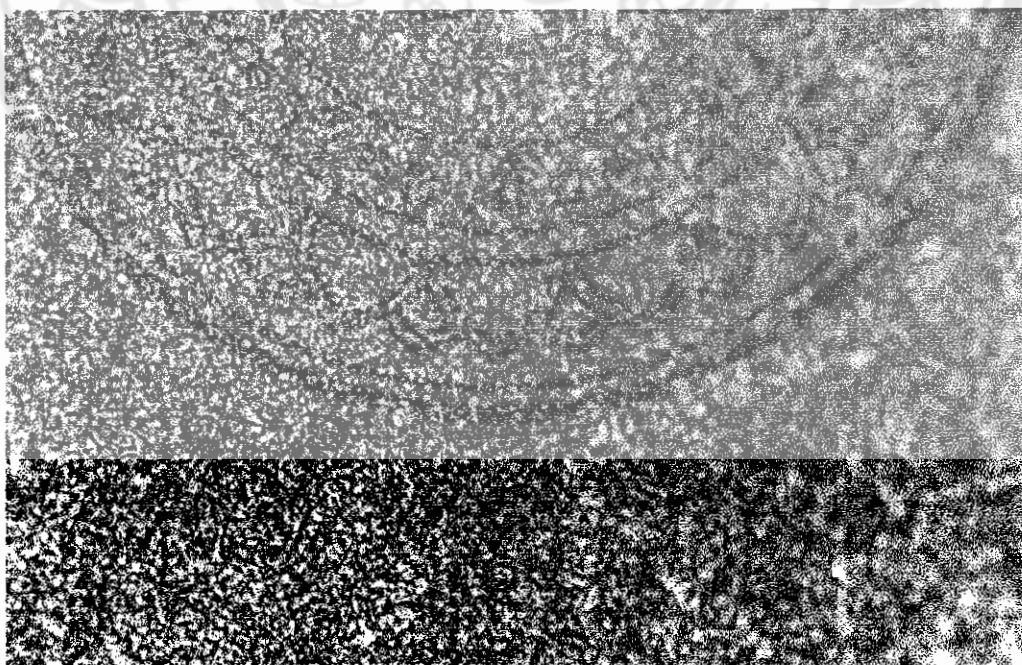
รูปที่ 4.9 โครงสร้างจุลภาคเหล็กที่ผ่านการชุบแข็งที่อุณหภูมิ  $900^{\circ}\text{C}$  ในน้ำ



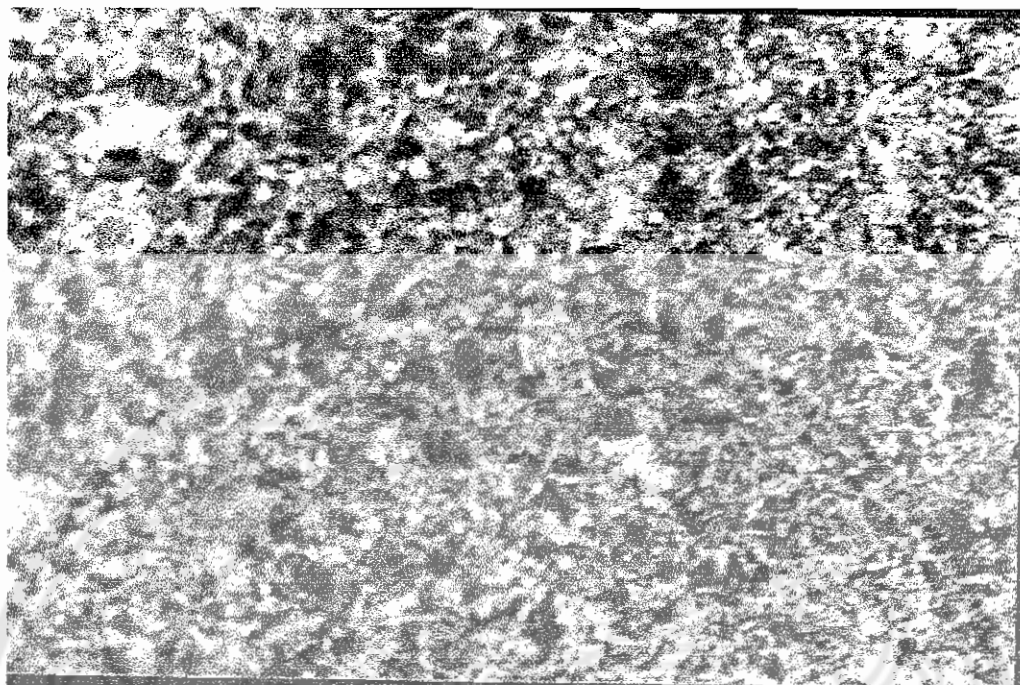
รูปที่ 4.10 โครงสร้างจุลภาคเหล็กที่ผ่านการชุบแข็งที่อุณหภูมิ  $1,000^{\circ}\text{C}$  ในน้ำ



รูปที่ 4.11 โครงสร้างจุลภาคเหล็กที่ผ่านการชุบแข็งที่อุณหภูมิ  $800^{\circ}\text{C}$  ในน้ำเกลือ



รูปที่ 4.12 โครงสร้างจุลภาคเหล็กที่ผ่านการชุบแข็งที่อุณหภูมิ  $900^{\circ}\text{C}$  ในน้ำเกลือ



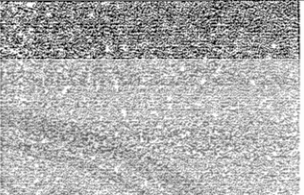
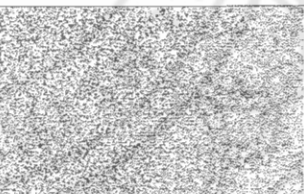
รูปที่ 4.13 โครงสร้างจุลภาคเหล็กที่ผ่านการซุบเป็นที่อุณหภูมิ  $1,000\text{ }^{\circ}\text{C}$  ในน้ำเกลือ  
หมายเหตุ ทุกรูปถ่ายที่กำลังขยาย 200 เท่า

#### 4.2.5 วิเคราะห์ผลการทดลอง

ตารางที่ 4.1 ขนาดของเม็ดเกรน เรียงตามลำดับจากขนาดใหญ่ที่สุด ไปจนถึงเล็กที่สุด

รูปที่	ภาระการซูบเบี้ง	ภาพ
4.4	ไม่ได้ทำการซูบเบี้ง	
4.6	900 °C ในน้ำมัน	
4.13	1,000 °C ในน้ำเกลือ	
4.10	1,000 °C ในน้ำ	
4.7	1,000 °C ในน้ำมัน	

ตารางที่ 4.1 (ต่อ)

ภาพที่	ภาวะการชุบแข็ง	ภาพ
4.5	800 °C ในน้ำมัน	
4.8	800 °C ในน้ำ	
4.11	800 °C ในน้ำเกลือ	
4.9	900 °C ในน้ำ	
4.12	900 °C ในน้ำเกลือ	

- ที่อุณหภูมิอบชุบ 800 °C ขนาดของกรนที่ได้จากการชุบแข็งในดักกลางน้ำเกลือ มีขนาดเล็กที่สุด รองลงมาคือ น้ำ และน้ำมัน ตามลำดับ

- ที่อุณหภูมิอบชุน  $900^{\circ}\text{C}$  ขนาดของเกรนที่ได้จากการชุบแข็งในตัวกลางน้ำเกลือ มีขนาดเล็กที่สุด รองลงมาคือ น้ำ และน้ำมัน ตามลำดับ

- ที่อุณหภูมิอบชุน  $1,000^{\circ}\text{C}$  ขนาดของเกรนที่ได้จากการชุบแข็งในตัวกลางน้ำมัน มีขนาดเล็กที่สุด รองลงมาคือ น้ำ และน้ำเกลือ ตามลำดับ

สรุปในตารางที่ 4.2 ลำดับขนาดของเกรน เทียบที่อุณหภูมิเดียวกัน ในตัวกลางแต่ละชนิด

- การชุบแข็งในตัวกลางน้ำมัน ขนาดของเกรนที่เล็กที่สุด กือ อบชุนที่อุณหภูมิ  $800^{\circ}\text{C}$  รองลงมาคือ  $1000^{\circ}\text{C}$  และ  $900^{\circ}\text{C}$  ตามลำดับ

- การชุบแข็งในตัวกลางน้ำ ขนาดของเกรนที่เล็กที่สุด กือ อบชุนที่อุณหภูมิ  $900^{\circ}\text{C}$  รองลงมาคือ  $800^{\circ}\text{C}$  และ  $1,000^{\circ}\text{C}$  ตามลำดับ

- การชุบแข็งในตัวกลางน้ำเกลือ ขนาดของเกรนที่เล็กที่สุด กือ อบชุนที่อุณหภูมิ  $1,000^{\circ}\text{C}$  รองลงมาคือ  $800^{\circ}\text{C}$  และ  $900^{\circ}\text{C}$  ตามลำดับ

สรุปในตารางที่ 4.3 ลำดับขนาดของเกรน ในตัวกลาง ที่อุณหภูมิต่างๆ

ตารางที่ 4.2 ลำดับขนาดของเกรน เทียบที่อุณหภูมิเดียวกัน ในตัวกลางแต่ละชนิด

อุณหภูมิ ( $^{\circ}\text{C}$ )	ลำดับขนาดของเกรน เทียบที่อุณหภูมิเดียวกัน		
	น้ำมัน	น้ำ	น้ำเกลือ
800	3	2	1
900	3	2	1
1,000	1	2	3

ตารางที่ 4.3 ลำดับขนาดของเกรน ในตัวกลาง ที่อุณหภูมิต่างๆ

ตัวกลาง	ลำดับขนาดของเกรน เทียบในตัวกลางเดียวกัน		
	$800^{\circ}\text{C}$	$900^{\circ}\text{C}$	$1000^{\circ}\text{C}$
น้ำมัน	1	3	2
น้ำ	3	2	1
น้ำเกลือ	2	1	3

หมายเหตุ เลข 1 หมายถึงเล็กที่สุด

เลข 2 หมายถึงเล็กมาก

เลข 3 หมายถึงเล็ก

ที่อุณหภูมิอบชูบเหล็ก  $800^{\circ}\text{C}$  และ  $900^{\circ}\text{C}$  สังเกตได้ว่าขนาดของเกรนเปลี่ยน เกี่ยวกับ อุณหภูมิเดียวกัน ในดั้งเด่นแต่ละชนิด จะเป็นอยู่กับอัตราการเย็นตัวของดั้งเด่น โดยดั้งเด่นใดที่ มีอัตราการเย็นตัวสูง จะให้เกรนที่มีขนาดเล็กละเอียดมากกว่าดั้งเด่นที่มีอัตราการเย็นตัวต่ำ

ตารางที่ 4.4 ลำดับขนาดของเกรน

อุณหภูมิ ( $^{\circ}\text{C}$ )	ลำดับขนาดของเกรน		
	น้ำมัน	น้ำ	น้ำเกลือ
800	5	4	3
900	9	2	1
1,000	6	7	8

หมายเหตุ เลข 1 หมายถึงเล็กที่สุด เรียงลงมาจนถึง เลข 9 หมายถึงใหญ่ที่สุด

จากภาพถ่ายผลการทดสอบที่ได้ สามารถแบ่งกลุ่มภาระชูบแข็ง ตามเกณฑ์ขนาดของ เกรนออกได้เป็น 2 กลุ่ม คือ

1. กลุ่มที่มีเกรนขนาดค่อนข้างเล็กละเอียด ซึ่งหมายถึง ภาระชูบแข็งที่ให้ผลขนาดของ เกรน อยู่ในลำดับที่ 1 – 4 กลุ่มนี้จะมีลำดับขนาดของเกรนภายนอกกลุ่มเรียงจากขนาดเล็กสุด คือ  $900^{\circ}\text{C}$  ในน้ำเกลือ,  $900^{\circ}\text{C}$  ในน้ำ,  $800^{\circ}\text{C}$  ในน้ำเกลือ และ  $800^{\circ}\text{C}$  ในน้ำ คุณค่าของตารางที่ 4.4 คือเขต พื้นที่ที่แรงงานนั่นเอง สังเกตได้ว่า

- ที่อุณหภูมิชูบแข็ง  $900^{\circ}\text{C}$  จะให้เกรนเล็กละเอียดกว่า  $800^{\circ}\text{C}$  และที่อุณหภูมิ  $1,000^{\circ}\text{C}$  ไม่ ก่อเกรนขนาดเล็กละเอียดเท่า
- การชูบแข็งในดั้งเด่นน้ำเกลือ จะให้เกรนเล็กละเอียดกว่า ชูบแข็งในน้ำ และการชูบแข็ง ในดั้งเด่นน้ำมัน ไม่ทำให้ก่อเกรนเล็กละเอียดเท่า

เหตุผล คือ

- ที่อุณหภูมิ  $800^{\circ}\text{C}$  อาจมีบางส่วนของโครงสร้างของเกรนที่ยังไม่เปลี่ยนเป็นอสเดนในที่

ซึ่งทำให้หลังจากการชุบแข็งแล้ว ยังได้เกรนที่มีขนาดใหญ่อยู่

- ที่อุณหภูมิ  $900^{\circ}\text{C}$  โครงสร้างของเกรนเปลี่ยนเป็นอสเดน ในที่มากกว่า  $800^{\circ}\text{C}$  ดังนั้นหลังจากการชุบแข็งแล้วจะได้เกรนที่มีขนาดเล็กลง
- ที่อุณหภูมิ  $1,000^{\circ}\text{C}$  โครงสร้างของเกรนเปลี่ยนเป็นอสเดน ในที่ขยายขนาดมาก ดังนั้นหลังจากการชุบแข็งแล้วจะได้เกรนที่มีขนาดใหญ่ อาจเนื่องจากหดตัวไม่ทัน
  - น้ำเกลือ และน้ำมีอัตราการเย็นตัวค่อนข้างสูง เมื่อเทียบกับน้ำมัน ดังนั้นการชุบในตัวกลาง น้ำเกลือ และน้ำ จึงให้เกรนที่มีขนาดเล็กละเอียดมากกว่า การชุบแข็งในตัวกลางน้ำมัน (คุณอัตราการเย็นตัวของตัวกลางแต่ละชนิด ได้จากตารางที่ 4.5 ช่อง Cooling rate ค่าที่ใช้จะเดմส์ไวเป็นคู่ๆ เพื่อให้ง่ายแก่การมอง)

ตารางที่ 4.5 The H coefficient or severity of the quench :

Medium	H – Coefficient	Cooling rate at the center of a 1" bar ( $^{\circ}\text{C/s}$ )
น้ำมัน (ไม่กวน)	0.25	18
น้ำมัน (กวน)	1.0	45
น้ำ (ไม่กวน)	1.0	45
น้ำ (กวน)	4.0	190
น้ำเกลือ (ไม่กวน)	2.0	90
น้ำเกลือ (กวน)	5.0	230

2. กลุ่มที่มีเกรนขนาดค่อนข้างใหญ่ขยาย ซึ่งหมายถึง ภาวะการชุบแข็งที่ให้ผลขนาดของเกรนอยู่ในลำดับที่ 5 – 9 กลุ่มนี้จะมีลำดับขนาดของเกรนภายในกลุ่มเรียงจากขนาดเล็กสุด คือ  $800^{\circ}\text{C}$  ในน้ำมัน,  $1,000^{\circ}\text{C}$  ในน้ำมัน,  $1,000^{\circ}\text{C}$  ในน้ำ,  $1,000^{\circ}\text{C}$  ในน้ำเกลือ,  $900^{\circ}\text{C}$  ในน้ำมัน คุณตารางที่ 4.4 คือเขตพื้นที่ที่ไม่ได้แรงงานน้ำ弄 สังเกตได้ว่า

- ที่อุณหภูมิชุบแข็ง  $800^{\circ}\text{C}$  จะให้เกรนเล็กละเอียดกว่า  $1,000^{\circ}\text{C}$  และ  $900^{\circ}\text{C}$  ตามลำดับ

#### 4.2.6 วิชาณ์ผลการทดลอง

4.2.6.1 กลุ่มที่มีเกรนขนาดค่อนข้างเล็กละเอียด ลำดับขนาดของเกรนที่ได้จากการศึกษาโครงสร้างจุลทรรศน์ สอดคล้องกับหลักการ

## สรุปหลักการเกี่ยวกับขนาดของเกรน

ก) ขณะที่มีการเพิ่มของอุณหภูมิที่ผ่านจุดวิกฤตจะมีการเปลี่ยนแปลงของเฟอร์ไรท์และเพิร์ลไพร์ทจำนวนมากไปเป็นอสเตนไนท์ ซึ่งมีขนาดของเกรนโดยเฉลี่ยเล็กที่สุดที่จุดวิกฤตนี้ถ้าขึ้นมาด้วยการเพิ่มอุณหภูมิขึ้นไป ขนาดเกรนของอสเตรนไนท์จะมีขนาดใหญ่มากขึ้น ซึ่งอาจมีผลในการควบคุมขนาดสุดท้ายของเกรนเมื่อโลหะเย็นตัวลงด้วย

ข) การทำให้เย็นตัวลงอย่างช้าๆ จะทำให้เกรนมีขนาดใหญ่ขึ้น

หมายเหตุ : จุดวิกฤต ( หมายถึง จุดที่อุณหภูมิต่ำสุดที่เหล็กเปลี่ยนเริ่มโครงสร้างเป็นอสเตรนไนท์ )  
ของเหล็ก  $0.4\%C$  คือ ที่อุณหภูมิประมาณ  $780^{\circ}\text{C}$

ดังนั้นยิ่งอุณหภูมิในการชุบแข็งสูงขึ้น ขนาดของเกรน ซึ่งควรจะใหญ่ขึ้นด้วย จากทฤษฎีแล้ว ตั้งสมนติฐานได้ว่า

เหล็กที่อบชุบที่อุณหภูมิ  $800$  และ  $900$  ควรจะมีขนาดของเกรนเล็กลงอีกด้วยกว่า  $1,000$  องศาเซลเซียส ซึ่งจากผลการทดลอง จะเห็นได้ว่า อุณหภูมิที่ให้โครงสร้างเล็กลงอีกด้วยที่  $800$  และ  $900$  องศาเซลเซียส เป็นส่วนมาก ส่วนการอบชุบที่อุณหภูมิ  $1,000$  ได้โครงสร้างใหญ่หายนั่นเอง

สมนติฐานอีกข้อนึงที่ตั้งได้ จากทฤษฎีที่กล่าวมาข้างต้น คือ อัตราการเย็นตัวของตัวกล่างที่ใช้ในการชุบแข็ง ประพกันขนาดของโครงสร้างจุลภาคที่ได้ภายหลังการชุบแข็ง

จากการที่  $4.5$  จะเห็นได้ว่าตัวกล่างที่ให้อัตราการเย็นตัวมากที่สุด คือ น้ำเกลือ รองลงมาคือ น้ำ และน้ำมัน ตามลำดับ นั่นคือ เหล็กที่ชุบแข็งในตัวกล่างน้ำเกลือมีโครงสร้างจุลภาคเล็กลงอีกด้วย แต่รองลงมา คือ น้ำ และน้ำมัน ความมีโครงสร้างจุลภาคที่ใหญ่และหายนั่น ตามลำดับ ซึ่งจากผลการทดลอง เห็นได้ว่า โครงสร้างจุลภาคที่ได้ภายหลังการชุบที่มีขนาดเล็กนั้นเป็นน้ำเกลือ และน้ำ ที่อุณหภูมิ  $800$  และ  $900^{\circ}\text{C}$  แต่ถ้าอุณหภูมิสูงถึง  $1,000^{\circ}\text{C}$  ขนาดของเกรนที่ได้จากการชุบแข็งในตัวกล่างน้ำมันจะมีขนาดเล็กที่สุด รองลงมา คือ น้ำ และน้ำเกลือ ตามลำดับ

4.2.6.2 กลุ่มที่มีเกรนขนาดค่อนข้างใหญ่หายน ได้ผลที่ไม่สอดคล้องกับหลักการเกี่ยวกับขนาดของเกรน เช่น การชุบแข็งที่อุณหภูมิ  $900^{\circ}\text{C}$  ควรจะมีขนาดเกรนเล็กลงอีกด้วยที่อุณหภูมิ  $800^{\circ}\text{C}$  และ  $1,000^{\circ}\text{C}$  แต่ผลการทดสอบไม่ออกมานเป็นตามนี้ เป็นคัน ซึ่งสังเกตได้ว่า ขนาดของเกรนในกลุ่มนี้ ค่อนข้างใกล้เคียงกัน ดังนั้นการสับล้ำดับขนาดของเกรนที่เกิดขึ้นในกลุ่มนี้ จึงอาจเกิดขึ้นได้

#### 4.2.7 สรุปผลการทดสอบ

4.2.7.1 การชูบเนื้อกายได้ภาวะที่อุณหภูมิพอดีไม่สูงเกินไป และในคุณภาพที่มีอัตราการเย็บตัวไม่ด่างกันมากนัก สามารถคาดคะเนขนาดเบรย์นที่เปลี่ยนขนาดก้นภายในกลุ่มได้ โดยใช้หลักอัตราการเย็บตัวสูงจะให้ขนาดเกรนที่เล็กกว่าเดิมกว่าการชูบเนื้อกายในคุณภาพที่มีอัตราเย็บตัวต่ำ

4.2.7.2 ขนาดของเกรนกากหลังการชูบเนื้อมีขนาดเล็กกว่าก่อนการชูบเนื้อ

### 4.3 การทดสอบความแข็ง

#### 4.3.1 จุดประสงค์

4.3.1.1 เพื่อศึกษาการทำงานของเครื่องทดสอบความแข็ง

4.3.1.2 เพื่อให้ทราบและทำการวิเคราะห์ค่าความแข็งของชิ้นงานที่เปลี่ยนแปลง

4.3.1.3 เพื่อทราบความสัมพันธ์ระหว่างความแข็งของชิ้นงาน กับอุณหภูมิ และคุณภาพที่ใช้ในการชูบเนื้อ

#### 4.3.2 อุปกรณ์

4.3.2.1 เครื่องทดสอบความแข็ง

4.3.2.2 ชิ้นงานทดสอบ

4.3.2.3 ระบบทดสอบที่ใช้

4.3.2.4 หัวทดสอบความแข็ง

4.3.2.5 ฐานรองชิ้นงาน

#### 4.3.3 วิธีการทดสอบ

4.3.3.1 ใส่ฐานรองชิ้นงานที่เครื่องทดสอบความแข็ง ทำความสะอาดและตรวจสอบระดับฐาน

4.3.3.2 ถอดการ์ดหัวทดสอบ

4.3.3.3 ใส่หัวทดสอบความแข็ง ขันให้แน่น และใส่การ์ด

4.3.3.4 วางชิ้นงานลงบนฐานรอง และเลือกตำแหน่งการทดสอบ

4.3.3.5 หมุนแท่นฐานรองชิ้นไปชนกับหัวทดสอบความแข็ง จนกระแทกใน Scale อุปกรณ์ที่ 0

4.3.3.6 ตั้งแรงและเวลาที่ใช้ในการทดสอบ

4.3.3.7 กดคันโยกขึ้นเริ่มทำการทดสอบ

4.3.3.8 เริ่มจับเวลาหลังจากเข้มหยุดนิ่ง จนประมาณ 10 วินาที จึงดันคันโยกลงมา แล้วอ่านค่าความแข็งที่ได้

4.3.3.9 บันทึกค่าการทดสอบ

#### 4.3.3.10 หมุนฐานรองลง และอาชีวงานออกแบบ

##### 4.3.4 ผลการทดสอบ

ตารางที่ 4.6 ตารางผลการทดสอบความแข็ง ( Rockwell – C )

อุณหภูมิ	ตัวกลาง			น้ำมัน			น้ำ			น้ำเกลือ		
800	19.0	19.5	20.2	51.6	55.1	51.9	53.8	55.0	50.9			
900	16.1	18.0	19.1	47.8	50.3	46.8	62.0	62.9	61.0			
1000	12.1	12.6	12.3	8.0	12.1	9.8	12.1	12.6	11.9			

หมายเหตุ : ค่าความแข็งที่วัดได้จากเหล็กที่ไม่ได้ผ่านการชุบแข็ง มีค่าดังนี้ 9.9 , 9.0 และ 11.0  
HRC ( Rockwell – C ) ค่าเฉลี่ย คือ 9.97

##### 4.3.5 วิเคราะห์ผลการทดสอบ

ตารางที่ 4.7 ค่าเฉลี่ยของความแข็ง ( Rockwell – C )

อุณหภูมิ ( $^{\circ}\text{C}$ )	ตัวกลาง	น้ำมัน	น้ำ	น้ำเกลือ
800		19.57	53.03	52.93
900		17.73	48.3	61.97
1,000		12.33	9.97	12.2

ตารางที่ 4.8 ตารางลำดับผลความแข็งจากมากไปน้อย

ลำดับที่	ความแข็ง	สภาวะการอบชุบ
1	61.97	น้ำเกลือ 900 °C
2	53.03	น้ำ 800 °C
3	52.93	น้ำเกลือ 800 °C
4	48.3	น้ำ 900 °C
5	19.57	น้ำมัน 800 °C
6	17.73	น้ำมัน 900 °C
7	12.33	น้ำมัน 1,000 °C
8	12.2	น้ำเกลือ 1,000 °C
9	9.97	น้ำ 1,000 °C
	9.97	ธรรมชาติ

- ที่อุณหภูมิอบชุบ 800 °C ค่าความแข็งเฉลี่ยที่ได้จากการชุบแข็งในตัวกลางน้ำ นิ่มมากที่สุด รองลงมาคือ น้ำเกลือ และน้ำมัน ตามลำดับ

- ที่อุณหภูมิอบชุบ 900 °C ค่าความแข็งเฉลี่ยที่ได้จากการชุบแข็งในตัวกลางน้ำเกลือ นิ่มค่ามากที่สุด รองลงมาคือ น้ำ และน้ำมัน ตามลำดับ

- ที่อุณหภูมิอบชุบ 1,000 °C ค่าความแข็งเฉลี่ยที่ได้จากการชุบแข็งในตัวกลางน้ำมัน นิ่มค่ามากที่สุด รองลงมาคือ น้ำเกลือ และน้ำ ตามลำดับ

สรุปในตารางที่ 4.9 ลำดับค่าความแข็งเฉลี่ยเปรียบเทียบที่อุณหภูมิเดียวกัน ในตัวกลางแต่ละชนิด

- การชุบแข็งในตัวกลางน้ำมัน ค่าความแข็งเฉลี่ยที่มากที่สุด คือ อบชุบที่อุณหภูมิ 800 °C รองลงมาคือ 900 °C และ 1,000 °C ตามลำดับ

- การชุบแข็งในตัวกลางน้ำ ค่าความแข็งเฉลี่ยที่มากที่สุด คือ อบชุบที่อุณหภูมิ 800 °C รองลงมาคือ 900 °C และ 1,000 °C ตามลำดับ

- การชุบแข็งในตัวกลางน้ำเกลือ ค่าความแข็งเฉลี่ยที่มากที่สุด คือ อบชุบที่อุณหภูมิ 900 °C รองลงมาคือ 800 °C และ 1,000 °C ตามลำดับ

สรุปในตารางที่ 4.10 ลำดับค่าความแข็งเฉลี่ยเปรียบเทียบใน ตัวกลางเดียวกัน ที่อุณหภูมิต่างๆ

ตารางที่ 4.9 ลำดับค่าความแข็งเคลือบเปรียบเทียบที่อุณหภูมิเดียวกัน ในตัวกลางแต่ละชนิด

อุณหภูมิ (°C)	ลำดับค่าความแข็งเคลือบเปรียบที่อุณหภูมิเดียวกัน		
	น้ำมัน	น้ำ	น้ำเกลือ
800	3	1	2
900	3	2	1
1,000	1	3	2

ตารางที่ 4.10 ลำดับค่าความแข็งเคลือบเปรียบเทียบใน ตัวกลางเดียวกัน ที่อุณหภูมิต่างๆ

ตัวกลาง	ลำดับค่าความแข็งเคลือบเปรียบในตัวกลางเดียวกัน		
	800 °C	900 °C	1000 °C
น้ำมัน	1	2	3
น้ำ	1	2	3
น้ำเกลือ	2	1	3

หมายเหตุ เลข 1 หมายถึงค่าความแข็งเคลือบมากที่สุด

เลข 2 หมายถึงค่าความแข็งเคลือบมาก

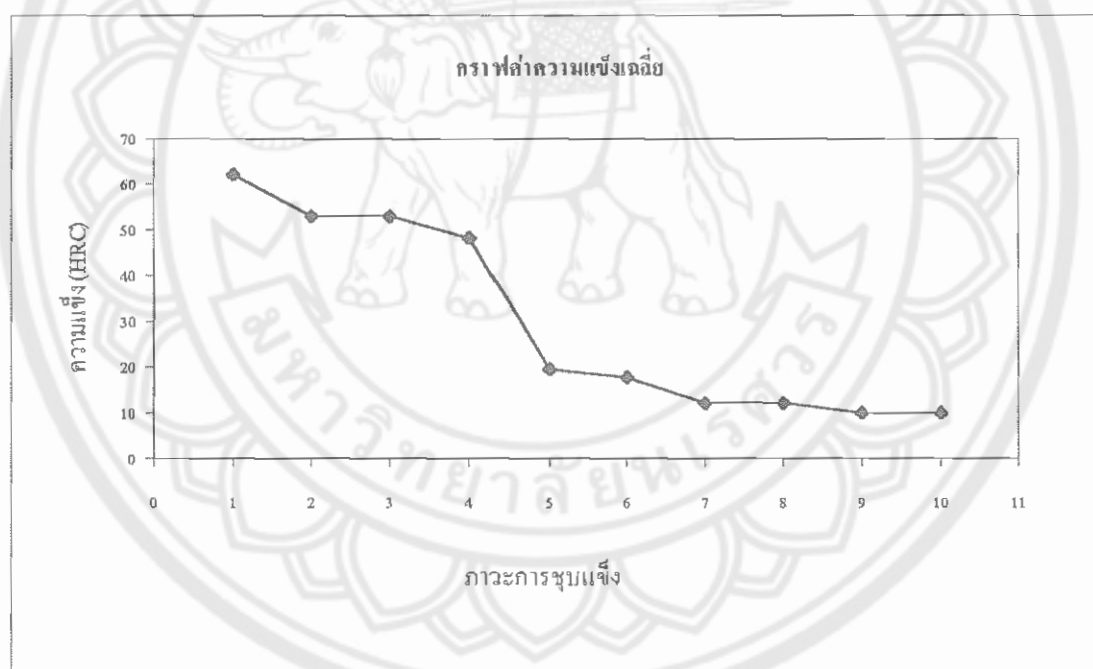
เลข 3 หมายถึงค่าความแข็งเคลือบน้อย

- ที่อุณหภูมิอบชุบเหล็ก 800 °C และ 900 °C สังเกตได้ว่าค่าความแข็งเคลือบเปรียบ เทียบที่ อุณหภูมิเดียวกัน ในตัวกลางแต่ละชนิด การชุบแข็งในน้ำมันจะให้ค่าความแข็งเคลือบมากขึ้นอย่างมาก
- การชุบแข็งในน้ำมัน และน้ำ ที่อุณหภูมิ 800 °C จะให้ค่าความแข็งเคลือบมากที่สุด รองลงมาคือ 900 °C และ 1,000 °C ตามลำดับ
- การชุบแข็งที่อุณหภูมิ 1,000 °C จะให้ค่าความแข็งเคลือบน้อย เมื่อเปรียบเทียบที่อุณหภูมิ ต่างๆ ในตัวกลางชนิดเดียวกัน

ตารางที่ 4.11 ลำดับค่าความแข็งเคลือบ

อุณหภูมิ (°C)	ลำดับค่าความแข็งเคลือบ		
	น้ำมัน	น้ำ	น้ำเกลือ
800	5	2	3
900	6	4	1
1,000	7	9	8

หมายเหตุ เลข 1 หมายถึงค่าความแข็งเคลือบมากที่สุด เรียงลงมาจนถึง เลข 9 หมายถึงค่าความแข็งเคลือบน้อยที่สุด



รูปที่ 4.14 กราฟแสดงความสัมพันธ์ระหว่างการชุบแข็งกับความแข็ง

### ตารางที่ 4.12 อธินายหนาเพลงภาวะชุบแข็งในกราฟค่าความแข็งเคลือบ

ลำดับ	ภาวะชุบแข็ง
1	น้ำเกลือ 900 °C
2	น้ำ 800 °C
3	น้ำเกลือ 800 °C
4	น้ำ 900 °C
5	น้ำมัน 800 °C
6	น้ำมัน 900 °C
7	น้ำมัน 1,000 °C
8	น้ำเกลือ 1,000 °C
9	น้ำ 1,000 °C
10	ธรรมชาติไม่ชุบแข็ง

จากค่าความแข็งเคลือบ สามารถแบ่งออกได้เป็น 2 กลุ่ม คือ

1. กลุ่มที่มีค่าความแข็งเคลือบค่อนข้างสูง ซึ่งหมายถึง ภาวะการชุบแข็งที่ให้ค่าความแข็งเคลือบอยู่ในลำดับที่ 1 – 4 คือมีค่าความแข็งเคลือบ 0 – 50 HRC ได้แก่ 900 °C ในน้ำเกลือ , 900 °C ในน้ำ , 800 °C ในน้ำเกลือ และ 800 °C ในน้ำ ดูจากตารางที่ 4.11 คือเขตพื้นที่ที่แรงงานนั่นเอง สังเกตได้ว่า

- ที่อุณหภูมิชุบแข็ง 800 °C และ 900 °C ให้ค่าความแข็งเคลือบค่อนข้างสูง ส่วน 1,000 °C ให้ค่าความแข็งเคลือบค่อนข้างต่ำ
- การชุบแข็งในน้ำเกลือ และน้ำ ให้ค่าความแข็งเคลือบค่อนข้างสูง ส่วนในน้ำมัน ให้ค่าเฉลี่ยความแข็งค่อนข้างต่ำ

เหตุผล คือ

ปัจจัยที่มีผลต่อความแข็ง คือ

- อุณหภูมิที่ใช้ในการอบชุบ ควรสูงกว่าสัน  $A_3$  ประมาณ 50 – 75 °C ( คุภาพที่ 2.1 แผนภาพสมคูลของเหล็กกับคาร์บอน ) เพื่อรักษาชีวะนิโตรไวไม่ให้เปลี่ยนไปเป็นօอสเทนไนท์ เพราะชีวะนิโตรมีความแข็งสูงอยู่แล้ว

จากภาพที่ 2.1 ที่ปริมาณคาร์บอน 0.4% อุณหภูมิค่าสุดที่เป็นօอสเทนไนท์ คือ 780°C เพราะจะนั้นอุณหภูมิที่ใช้ในการอบชุบควรอยู่ที่ 830°C – 855°C จึงจะได้ความแข็งมาก

- อัตราความเร็วในการชุบ กล่าวคือ ถ้าทำให้เหล็กเย็นเร็ว ๆ โอกาสที่อสเดนในที่จะเปลี่ยนเป็นมาร์เทนไซต์ก็มาก ในทางตรงข้าม ถ้าปล่อยให้เหล็กเย็นช้า ๆ ออสเดนในที่จะเปลี่ยนเป็นเฟอร์ไรท์กับซิเมนไต์หนด ไม่เกิดมาร์เทนไซต์ เหล็กก็ไม่แข็ง

2. กลุ่มที่มีค่าความแข็งเคลือบต่ำขึ้นตามลำดับ ร่องรอยของ การชุบแข็งที่ให้ค่าความแข็งเคลือบอยู่ในลำดับที่ 5 – 9 รวมถึงเหล็กที่ไม่ได้ทำการชุบแข็งด้วย คือมีค่าความแข็งเคลือบ 51 – 80 HRC ได้แก่  $800^{\circ}\text{C}$  ในน้ำมัน,  $1,000^{\circ}\text{C}$  ในน้ำมัน,  $1,000^{\circ}\text{C}$  ในน้ำ,  $1,000^{\circ}\text{C}$  ในน้ำเกลือ,  $900^{\circ}\text{C}$  ในน้ำมัน คุณภาพงานที่ 4.11 คือเขตพื้นที่ที่ไม่ได้แรเงา นั่นเอง สังเกตได้ว่า

- การชุบแข็งในน้ำมัน ให้ค่าความแข็งเคลือบสูงสุดในกลุ่มนี้ รองลงมาคือ น้ำเกลือ และน้ำตามลำดับ

- ที่อุณหภูมิชุบแข็ง  $1,000^{\circ}\text{C}$  ให้ค่าความแข็งเคลือบต่ำสุดในกลุ่มนี้

#### 4.3.6 วิธารณ์ผลการทดสอบ

4.3.6.1 ค่าความแข็งเคลือบสอดคล้องกับหลักการ คือ กลุ่มที่อบชุบที่อุณหภูมิไม่สูงเกินไป ในตัวกลางที่มีอัตราการเย็นตัวสูง จะให้ค่าความแข็งเคลือบสูง ส่วนกลุ่มที่อบชุบที่อุณหภูมิสูงเกินไป ในตัวกลางที่มีอัตราการเย็นตัวต่ำ จะให้ค่าความแข็งเคลือบต่ำ

4.3.6.2 ค่าความแข็งเคลือบของเหล็กภายหลังการชุบแข็งมีค่าเพิ่มสูงขึ้น

#### 4.3.7 สรุปผลการทดสอบ

4.3.7.1 การชุบแข็งภายในวิธารณ์ที่อุณหภูมิพอดีไม่สูงเกินไป และในตัวกลางที่มีอัตราการเย็นตัวสูงจะให้ค่าความแข็งเคลือบสูงกว่าการชุบแข็งในตัวกลางที่มีอัตราเย็นตัวต่ำ

4.3.7.2 ค่าความแข็งเคลือบภายในวิธารณ์หลังการชุบแข็งมากกว่าก่อนการชุบแข็ง

### 4.4 การทดสอบแรงกระแทก

#### 4.3.1 จุดประสงค์

4.3.1.1 เพื่อศึกษาการทำงานของเครื่องทดสอบแรงกระแทก

4.3.1.2 เพื่อให้ทราบและทำการวิเคราะห์ค่าความทนต่อแรงกระแทกของชิ้นงานที่เปลี่ยนแปลง

4.3.1.3 เพื่อทราบความสัมพันธ์ระหว่างความทนต่อแรงกระแทกของชิ้นงาน กับ อุณหภูมิ และตัวกลางที่ใช้ในการชุบแข็ง

### 4.3.2 อุปกรณ์

#### 4.3.2.1 เครื่องทดสอบแรงกระแทก

#### 4.3.2.2 ชิ้นงานทดสอบ

### 4.3.3 วิธีการทดสอบ

#### 4.3.1.1 ทำการวัดมิติ (Dimensions) ของตัวอย่างเหล็กทั้งหมดแล้ววัดรอบปาก

4.3.1.2 ยกตุ้มน้ำหนักขึ้นเล็กน้อย โดยหมุนกว้างลงไปทางแล้วให้ไกกระเดื่องสือกับตุ้มน้ำหนักเสียก่อน

#### 4.3.1.3 量ตัวอย่างเหล็กซึ่งเป็นวัสดุทดสอบลงบนจุดวาง

4.3.1.4 ลดตุ้มน้ำหนักลงจนเกือบสัมผัสกับวัสดุทดสอบเพื่อคุ้ว่าจะได้ตำแหน่งที่จะ ตาม ต้องการหรือไม่

4.3.1.5 ยกตุ้มน้ำหนักขึ้นไปใหม่ไปตั้งไว้ที่แนวระนาบหรือ 90 องศา โดยหมุนเข็มดังนี้ ให้ตามขึ้นไปด้วย

#### 4.3.1.6 ยกถ่านผ้าเบรคขึ้นเพื่อมิให้ผ้าเบรคสัมผัสกับตุ้มน้ำหนักที่กำลังตกมา

4.3.1.7 ปลดไกกระเดื่องให้ตุ้มน้ำหนักและเข็มดังกลังไปกระแทกวัสดุทดสอบจน หักกระเดื่องออกไป ตุ้มน้ำหนักจะวิงต่อไป เนื่องด้วยเข็มดังนี้จะขึ้นไปค้างบนกองเศษที่เหลือ

#### 4.3.1.8 อ่านค่าผลลัพธ์งานที่วัดได้

### 4.3.4 ผลการทดสอบ

ตารางที่ 4.13 ตารางผลการทดสอบความทนต่อแรงกระแทก ( น.)

อุณหภูมิ	ตัวกลาง	น้ำมัน				น้ำ				น้ำเกลือ			
		น้ำมัน	น้ำ	น้ำ	น้ำ	น้ำ							
800		199.7	199.7	199.7	73.4	192.7	49.6	93.8	115	82.4			
900		199.7	199.7	199.7	68.2	56.2	178.2	173.6	103.6	105.8			
1000		199.7	199.7	138.4	153.7	105.8	193.8	167.7	174.1	172.2			

หมายเหตุ : ค่าความทนต่อแรงกระแทกที่วัดได้จากเหล็กที่ไม่ได้ผ่านการชุบแข็ง เท่ากับ 199.9 N  
ทั้งสามค่า

#### 4.3.5 วิเคราะห์ผลการทดลอง

ตารางที่ 4.14 ค่าความทันต่อแรงกระแทกเฉลี่ย ( $\text{MJ}$ )

อุณหภูมิ ( $^{\circ}\text{C}$ )	ตัวกลาง น้ำมัน	น้ำ	น้ำเกลือ
800	199.7	105.23	97.07
900	199.7	100.87	127.67
1,000	179.27	151.1	171.33

ตารางที่ 4.15 ตารางลำดับผลความทันต่อแรงกระแทกจากมากไปน้อย

ลำดับที่	ความแข็ง	สภาวะการอบชุบ
1	199.9	ธรรมชาติ
2	199.7	น้ำมัน $800^{\circ}\text{C}$
	199.7	น้ำมัน $900^{\circ}\text{C}$
3	179.27	น้ำมัน $1,000^{\circ}\text{C}$
4	171.33	น้ำเกลือ $1,000^{\circ}\text{C}$
5	151.1	น้ำ $1,000^{\circ}\text{C}$
6	127.67	น้ำเกลือ $900^{\circ}\text{C}$
7	105.23	น้ำ $800^{\circ}\text{C}$
8	100.87	น้ำ $900^{\circ}\text{C}$
9	97.07	น้ำเกลือ $800^{\circ}\text{C}$

- ที่อุณหภูมิอบชุบ  $800^{\circ}\text{C}$  ค่าความทันต่อแรงกระแทกเฉลี่ยที่ได้จากการชุบแข็งในตัวกลาง น้ำมัน มีค่ามากที่สุด รองลงมาคือ น้ำ และน้ำเกลือ ตามลำดับ
- ที่อุณหภูมิอบชุบ  $900^{\circ}\text{C}$  ค่าความทันต่อแรงกระแทกเฉลี่ยที่ได้จากการชุบแข็งในตัวกลาง น้ำมัน มีค่ามากที่สุด รองลงมาคือ น้ำเกลือ และน้ำ ตามลำดับ
- ที่อุณหภูมิอบชุบ  $1,000^{\circ}\text{C}$  ค่าความทันต่อแรงกระแทกเฉลี่ยที่ได้จากการชุบแข็งในตัวกลางน้ำมัน มีค่ามากที่สุด รองลงมาคือ น้ำเกลือ และน้ำ ตามลำดับ

สรุปในตารางที่ 4.16 ลำดับค่าความหนาต่อแรงกระแทกเฉลี่ยเปรียบเทียบที่อุณหภูมิเดียวกัน ในตัวกลางแต่ละชนิด

- การซูบแข็งในตัวกลางน้ำมัน ค่าความหนาต่อแรงกระแทกเฉลี่ยที่มากที่สุด คือ อบชูบที่ อุณหภูมิ  $800^{\circ}\text{C}$  และ  $900^{\circ}\text{C}$  รองลงมาคือ  $1,000^{\circ}\text{C}$
- การซูบแข็งในตัวกลางน้ำ ค่าความหนาต่อแรงกระแทกเฉลี่ยที่มากที่สุด คือ อบชูบที่ อุณหภูมิ  $1,000^{\circ}\text{C}$  รองลงมาคือ  $800^{\circ}\text{C}$  และ  $900^{\circ}\text{C}$  ตามลำดับ
- การซูบแข็งในตัวกลางน้ำเกลือ ค่าความแข็งเฉลี่ยที่มากที่สุด คือ อบชูบที่ อุณหภูมิ  $1,000^{\circ}\text{C}$  รองลงมาคือ  $900^{\circ}\text{C}$  และ  $800^{\circ}\text{C}$  ตามลำดับ

สรุปในตารางที่ 4.17 ลำดับค่าความหนาต่อแรงกระแทกเฉลี่ยเปรียบเทียบใน ตัวกลางเดียวกัน ที่อุณหภูมิต่างๆ

ตารางที่ 4.16 ลำดับค่าความหนาต่อแรงกระแทกเฉลี่ยเปรียบเทียบที่อุณหภูมิเดียวกัน ในตัวกลางชนิด

อุณหภูมิ ( $^{\circ}\text{C}$ )	ลำดับค่าความแข็งเฉลี่ย เทียบที่อุณหภูมิเดียวกัน		
	น้ำมัน	น้ำ	น้ำเกลือ
800	1	2	3
900	1	3	2
1,000	1	3	2

ตารางที่ 4.17 ลำดับค่าความหนาต่อแรงกระแทกเฉลี่ยเปรียบเทียบใน ตัวกลางเดียวกัน ที่อุณหภูมิต่างๆ

ตัวกลาง	ลำดับค่าความหนาต่อแรงกระแทกเฉลี่ยเทียบใน ตัวกลางเดียวกัน		
	$800^{\circ}\text{C}$	$900^{\circ}\text{C}$	$1000^{\circ}\text{C}$
น้ำมัน	1	1	2
น้ำ	2	3	1
น้ำเกลือ	3	2	1

หมายเหตุ เลข 1 หมายถึงค่าความทันต่อแรงกระแสไฟฟ้ามากที่สุด

เลข 2 หมายถึงค่าความทันต่อแรงกระแสไฟฟ้าเล็กน้อย

เลข 3 หมายถึงค่าความทันต่อแรงกระแสไฟฟ้าเล็กน้อย

ที่อุณหภูมิการซับแข็ง การซับแข็งในน้ำมันให้ค่าความทันต่อแรงกระแสไฟฟ้ามากที่สุด

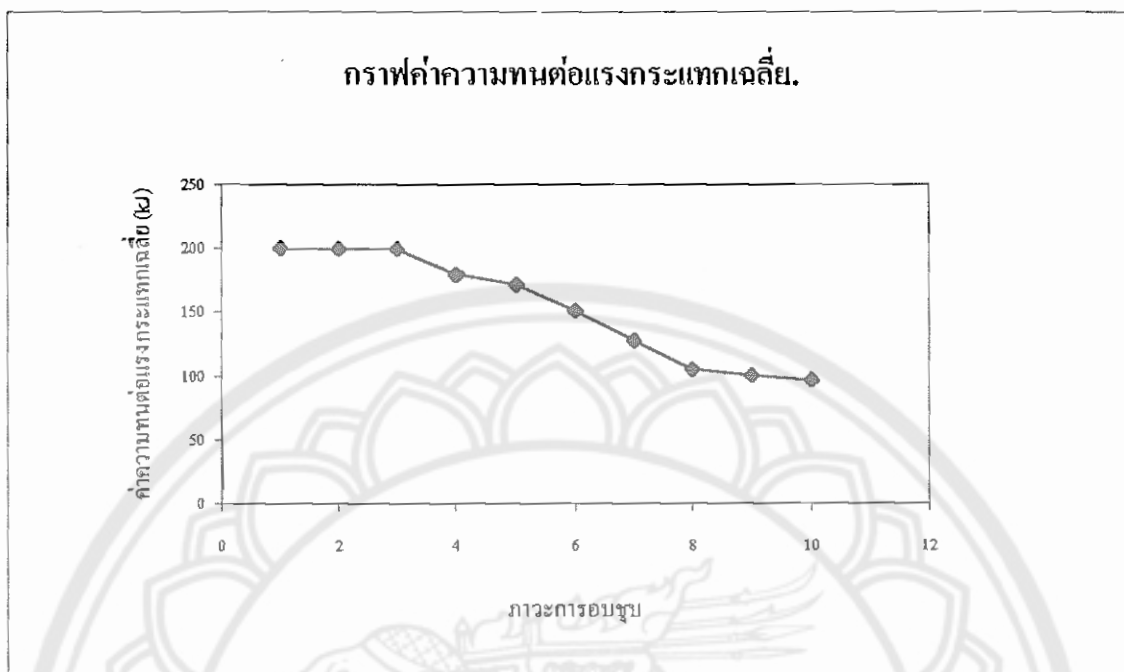
ที่อุณหภูมิการซับแข็ง  $800^{\circ}\text{C}$  การซับแข็งในน้ำให้ค่าความทันต่อแรงกระแสไฟฟ้าเล็กน้อยกว่า  
ในน้ำเกลือ แต่ที่  $900^{\circ}\text{C}$  และ  $1,000^{\circ}\text{C}$  ในน้ำเกลือสูงกว่าในน้ำ

ตารางที่ 4.18 ลำดับค่าความทันต่อแรงกระแสไฟฟ้าเล็กน้อย

อุณหภูมิ ( $^{\circ}\text{C}$ )	ลำดับค่าความทันต่อแรงกระแสไฟฟ้าเล็กน้อย		
	น้ำมัน	น้ำ	น้ำเกลือ
800	1	6	8
900	1	7	5
1,000	2	4	3

หมายเหตุ เลข 1 หมายถึงค่าความทันต่อแรงกระแสไฟฟ้ามากที่สุด เรียงลงมาจนถึง เลข 9

หมายถึงค่าความทันต่อแรงกระแสไฟฟ้าเล็กน้อยที่สุด



รูปที่ 4.15 กราฟแสดงภาวะซุบแข็งกับความทนต่อแรงกระแทกเฉลี่ย

ตารางที่ 4.19 อธิบายหมายเลขอภาวะซุบแข็งในกราฟค่าความทนต่อแรงกระแทกเฉลี่ย

ลำดับ	ภาวะซุบแข็ง
1	น้ำมัน $800^{\circ}\text{C}$
2	น้ำมัน $900^{\circ}\text{C}$
3	น้ำมัน $1,000^{\circ}\text{C}$
4	น้ำเกลือ $1,000^{\circ}\text{C}$
5	น้ำ $1,000^{\circ}\text{C}$
6	น้ำเกลือ $900^{\circ}\text{C}$
7	น้ำ $800^{\circ}\text{C}$
8	น้ำ $900^{\circ}\text{C}$
9	น้ำเกลือ $800^{\circ}\text{C}$
10	ชรรมดาไม่ซุบแข็ง

จากค่าความหนาต่อแรงกระแทกเฉลี่ย สามารถแบ่งออกได้เป็น 2 กลุ่ม คือ

1. กลุ่มที่มีค่าความหนาต่อแรงกระแทกเฉลี่ยค่อนข้างสูง ซึ่งหมายถึง ภาวะการชุบแข็งที่ให้ค่าความหนาต่อแรงกระแทกเฉลี่ย อยู่ในลำดับที่ 1 – 4 รวมถึงเหล็กธรรมชาติไม่ได้ชุบแข็งด้วย คือมีค่าความหนาต่อแรงกระแทกเฉลี่ย 150 – 200 เมะ ได้แก่  $800^{\circ}\text{C}$  ในน้ำมัน,  $1,000^{\circ}\text{C}$  ในน้ำมัน,  $1,000^{\circ}\text{C}$  ในน้ำ,  $1,000^{\circ}\text{C}$  ในน้ำเกลือ,  $900^{\circ}\text{C}$  ในน้ำมัน คุณภาพคงที่ 4.18 คือเขตพื้นที่ที่ไม่ได้แรงงานสัมภคได้ว่า

- เหล็กธรรมชาติที่ยังไม่ได้ผ่านการชุบแข็ง มีค่าความหนาต่อแรงกระแทกเฉลี่ยสูงที่สุด รองลงมา คือ การชุบแข็งในน้ำ, น้ำเกลือ และน้ำ ตามลำดับ
  - ที่อุณหภูมิชุบแข็ง  $1,000^{\circ}\text{C}$  ให้ค่าความหนาต่อแรงกระแทกเฉลี่ยต่ำสุด ในกลุ่มนี้
- 2. กลุ่มที่มีค่าความหนาต่อแรงกระแทกเฉลี่ยค่อนข้างต่ำ ซึ่งหมายถึง ภาวะการชุบแข็งที่ให้ค่าความหนาต่อแรงกระแทกเฉลี่ย อยู่ในลำดับที่ 5 – 9 คือมีค่าความหนาต่อแรงกระแทกเฉลี่ย 0 – 150 เมะ ได้แก่  $900^{\circ}\text{C}$  ในน้ำเกลือ,  $900^{\circ}\text{C}$  ในน้ำ,  $800^{\circ}\text{C}$  ในน้ำเกลือ และ  $800^{\circ}\text{C}$  ในน้ำ คุณภาพคงที่ 4.18 คือเขตพื้นที่ที่แรงงานนั้น นั่งเอง สัมภคได้ว่า
  - ที่อุณหภูมิชุบแข็ง  $800^{\circ}\text{C}$  และ  $900^{\circ}\text{C}$  ให้ค่าความหนาต่อแรงกระแทกเฉลี่ยค่อนข้างสูง
  - การชุบแข็งในน้ำเกลือ และน้ำ ให้ค่าความหนาต่อแรงกระแทกเฉลี่ยค่อนข้างต่ำ ต่ำกว่า  $1,000^{\circ}\text{C}$  ให้ค่าความหนาต่อแรงกระแทกเฉลี่ยค่อนข้างสูง

#### 4.3.6 วิจารณ์ผลการทดลอง

4.3.6.1 ทดสอบล็อกกับหลักการ คือ ขนาดของเกรนที่เล็ก จะมีความหนาต่อแรงกระแทกต่ำกว่ากรนที่ใหญ่ โดยกลุ่มที่มีขนาดเกรนค่อนข้างเล็ก จะให้ค่าความหนาต่อแรงกระแทกเฉลี่ยต่ำกว่ากลุ่มที่มีเกรนค่อนข้างใหญ่ จะให้ค่าความหนาต่อแรงกระแทกเฉลี่ยสูงต่ำ

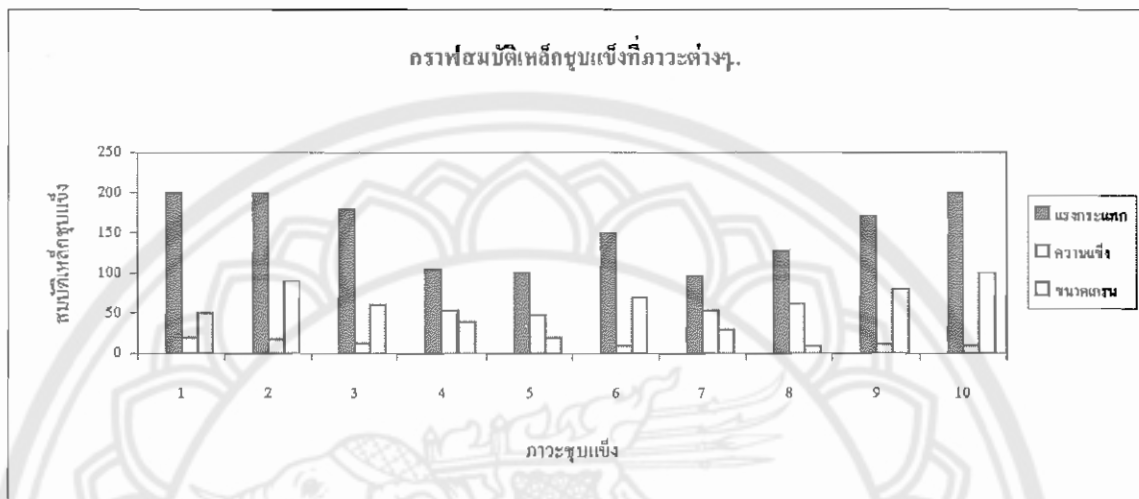
4.3.6.2 ค่าความหนาต่อแรงกระแทกเฉลี่ยของเหล็กภายหลังการชุบแข็งมีค่าลดลง

#### 4.3.7 สรุปผลการทดลอง

4.3.7.1 การชุบแข็งภายใต้ภาวะที่อุณหภูมิพอดีสูง และในตัวกล่างที่มีอัตราการเย็นตัวต่ำ จะให้ค่าความหนาต่อแรงกระแทกเฉลี่ยสูงกว่าการชุบแข็งในตัวกล่างที่มีอัตราเย็นตัวสูง

4.3.7.2 ค่าความหนาต่อแรงกระแทกเฉลี่ยของเหล็กภายหลังการชุบแข็งมีค่าลดลง

#### 4.4 สมบัติของเหล็กรวม ( ขนาด , ค่าความแข็งเฉลี่ย และค่าความหนาต่อแรงกระแทกเฉลี่ย )



ภาพที่ 4.16 กราฟสมบัติเหล็กชุบแข็งที่ภาวะต่างๆ

ตารางที่ 4.20 อธิบายหมายเลขอภาวะชุบแข็งในกราฟสมบัติเหล็กชุบแข็งที่ภาวะต่างๆ

ลำดับ	ภาวะชุบแข็ง
1	น้ำมัน 800 °C
2	น้ำมัน 900 °C
3	น้ำมัน 1,000 °C
4	น้ำ 800 °C
5	น้ำ 900 °C
6	น้ำ 1,000 °C
7	น้ำเกลือ 800 °C
8	น้ำเกลือ 900 °C
9	น้ำเกลือ 1,000 °C
10	ธรรมชาติไม่ชุบแข็ง

หมายเหตุ : ขนาดเกรนในกราฟเป็นเพียงขนาดที่ส่วนติดตามลำดับของขนาดเกรนเท่านั้น โดยเริ่มจาก 10, 20,...,100

ตารางที่ 4.21 ลำดับขนาดของกรan

อุณหภูมิ (°C)	ลำดับขนาดของเกรน		
	น้ำมัน	น้ำ	น้ำเกลือ
800	5	4	3
900	9	2	1
1,000	6	7	8

หมายเหตุ เลข 1 หมายถึงเล็กที่สุด เรียงลงมาจนถึง เลข 9 หมายถึงใหญ่ที่สุด

ตารางที่ 4.22 ลำดับค่าความแข็งเฉลี่ย

อุณหภูมิ (°C)	ลำดับค่าความแข็งเฉลี่ย		
	น้ำมัน	น้ำ	น้ำเกลือ
800	5	2	3
900	6	4	1
1,000	7	9	8

หมายเหตุ เลข 1 หมายถึงค่าความแข็งเฉลี่ยมากที่สุด เรียงลงมาจนถึง เลข 9 หมายถึงค่าความแข็งเฉลี่ยน้อยที่สุด

ตารางที่ 4.23 ลำดับค่าความหนาด่อกระแทกเฉลี่ย

อุณหภูมิ (°C)	ลำดับค่าความหนาด่อกระแทกเฉลี่ย		
	น้ำมัน	น้ำ	น้ำเกลือ
800	1	6	8
900	1	7	5
1,000	2	4	3

หมายเหตุ เลข 1 หมายถึงค่าความหนาต่อแรงกระแทกเฉลี่ยมากที่สุด เรียงลงมาจนถึง เลข 9

หมายถึงค่าความหนาต่อแรงกระแทกเฉลี่ยน้อยที่สุด

จะเห็นได้ว่าผลการทดสอบแบ่งสมบัติของเหล็กออกเป็นสองกลุ่ม

1. กลุ่มพื้นที่ที่แรง สมบัติของกลุ่มนี้ คือ

- 1) ขนาดเกรนค่อนข้างเล็ก
- 2) ค่าความแข็งเฉลี่ยค่อนข้างสูง
- 3) ค่าความหนาต่อแรงกระแทกเฉลี่ยค่อนข้างต่ำ

ภาวะการชุบแข็งนี้ ได้แก่

- 1) การชุบแข็งที่อุณหภูมิ  $800^{\circ}\text{C}$  ในตัวกลาง น้ำ
- 2) การชุบแข็งที่อุณหภูมิ  $800^{\circ}\text{C}$  ในตัวกลาง น้ำเกลือ
- 3) การชุบแข็งที่อุณหภูมิ  $900^{\circ}\text{C}$  ในตัวกลาง น้ำ
- 4) การชุบแข็งที่อุณหภูมิ  $900^{\circ}\text{C}$  ในตัวกลาง น้ำเกลือ

2. กลุ่มพื้นที่ที่ไม่ได้แรง สมบัติของกลุ่มนี้ คือ

- 1) ขนาดเกรนค่อนข้างใหญ่
- 2) ค่าความแข็งเฉลี่ยค่อนข้างต่ำ
- 3) ค่าความหนาต่อแรงกระแทกเฉลี่ยค่อนข้างสูง

ภาวะการชุบแข็งนี้ ได้แก่

- 1) การชุบแข็งที่อุณหภูมิ  $800^{\circ}\text{C}$  ในตัวกลาง น้ำมัน
- 2) การชุบแข็งที่อุณหภูมิ  $900^{\circ}\text{C}$  ในตัวกลาง น้ำมัน
- 3) การชุบแข็งที่อุณหภูมิ  $1,000^{\circ}\text{C}$  ในตัวกลาง น้ำมัน
- 4) การชุบแข็งที่อุณหภูมิ  $1,000^{\circ}\text{C}$  ในตัวกลาง น้ำ
- 5) การชุบแข็งที่อุณหภูมิ  $1,000^{\circ}\text{C}$  ในตัวกลาง น้ำเกลือ
- 6) เหล็กธรรมชาติไม่ชุบแข็ง

#### 4.4 วิเคราะห์ความแปรปรวนการทดสอบความแข็ง

กำหนดค่า  $H_0: (\tau\beta)_{ij} = 0$ , อุณหภูมิและอัตราการเย็นตัวไม่มีผลผลกระทบต่อค่าความแข็ง

$H_1: (\tau\beta)_{ij} \neq 0$ , อุณหภูมิและอัตราการเย็นตัวมีผลผลกระทบต่อค่าความแข็ง  
อย่างน้อยหนึ่งค่า

ระดับนัยสำคัญ  $\alpha = 0.05$

บริเวณวิกฤต เมื่อ  $F > f$

$$> f_{0.05, 2, 26}$$

$$> 3.37$$

ตารางที่ 4.24 การคำนวณค่าความแปรปรวน

อุณหภูมิ	อัตราเย็นตัว (C/s)						y..
	น้ำมัน (R = 45)		น้ำ (R = 190)		น้ำเกลือ (R = 230)		
800	19		51.6		53.8		
	19.5	y11.=58.5	55.1	y12.=158.6	55	y13.=159.7	y1..=377
	20.2		51.9		50.9		
900	16.1		47.8		62		
	18	y21.=53.2	50.3	y22.=144.9	62.9	y23.=185.9	y2..=384
	19.1		46.8		61		
1000	12.1		8		12.1		
	12.6	y31.=37	12.1	y32.=29.9	12.6	y33.=36.6	y3..=103.5
	12.3		9.8		11.9		
y.j.		y.1.=148.9		y.2.=333.4		y.3.=382.2	y...=864.5

$$SS_T = \sum \sum \sum y_{ij}^2 - [ \bar{y}^2 \dots / N ] = [ 19.0^2 + \dots + 11.9^2 ] - [ 864.5^2 / 27 ] = 11056.00$$

$$SS_A = [ \frac{1}{ln} ] \sum y_{..}^2 - [ \bar{y}^2 \dots / N ] = \frac{1}{3 \times 3} [ 377^2 + 384^2 + 103.5^2 ] - [ 864.5^2 / 27 ] = 5686.35$$

$$SS_B = [ \frac{1}{kn} ] \sum y_{..j}^2 - [ \bar{y}^2 \dots / N ] = \frac{1}{3 \times 3} [ 148.9^2 + 333.4^2 + 382.2^2 ] - [ 864.5^2 / 27 ] = 3364.84$$

$$SS_{\text{subtotal}} = [ \frac{1}{n} ] \sum \sum y_{ij}^2 - [ \bar{y}^2 \dots / N ] = \frac{1}{3} [ 58.7^2 + \dots + 36.6^2 ] - [ 864.5^2 / 27 ] = 11017.11$$

$$SS_{AB} = SS_{\text{subtotal}} - SS_A - SS_B = 11017.11 - 5686.35 - 3364.84 = 1965.92$$

$$SS_E = SS_T - SS_A - SS_B - SS_{AB} = 11056 - 5686.35 - 3364.84 - 1965.92 = 38.89$$

ตารางที่ 4.25 ANOVA

แหล่งความแปรปรวน (Source)	ผลบวกกำลัง สอง (SS)	องค่าเสรี (df)	ค่าเฉลี่ยของผลบวก กำลังสอง (MS)	F ชาการ จำนวน
อุณหภูมิ, A	5686.35	2	2843.18	1316.29
อัตราการเย็นตัว, B	3364.84	2	1682.42	778.54
ค่าปฏิสัมพันธ์, AB	1965.92	4	491.48	227.54
ความคลาดเคลื่อน, Error	38.89	18	2.16	
ผลรวม, Total	11056	26		

$$\text{จากตาราง } F_{0.05,2,18} = 3.55$$

$$F_{0.05,4,18} = 2.93$$

จะได้ว่า  $F_{\text{อุณหภูมิ(จำนวน)}} > F_{\text{ตาราง}}$  นั่นคือ  $1316.29 > 3.55$

$$F_{\text{อัตราการเย็นตัว (จำนวน)}} > F_{\text{ตาราง}} \text{ นั่นคือ } 778.54 > 2.93$$

แสดงว่า อุณหภูมิและอัตราการเย็นตัวมีผลต่อความแข็งอย่างมีนัยสำคัญที่ระดับความเชื่อมั่น 95%

สมการถดถอยเชิงเส้นของค่าความแข็ง

กำหนดให้  $Y = \text{อุณหภูมิ (C)}$

$X_1 = \text{อัตราการเย็นตัว (C/s)}$

$X_2 = \text{ค่าความแข็ง (HRC)}$

ตารางที่ 4.26 การคำนวณสมการผลโดยของค่าความแข็ง

$Y$	$X_1$	$X_2$	$X_1X_2$	$X_1^2$	$X_2^2$	$X_1Y$	$X_2Y$
800	45	19.57	800.65	2025	382.9849	36000	15656
800	190	52.87	10045.3	36100	2795.237	152000	42296
800	230	53.23	12242.9	52900	2833.433	184000	42584
900	45	17.73	797.85	2025	314.3529	40500	15957
900	190	48.3	9177	36100	2332.89	171000	43470
900	230	61.63	14174.9	52900	3798.257	207000	55467
1000	45	12.3	553.5	2025	151.29	45000	12300
1000	190	9.97	1894.3	36100	99.4009	190000	9970
1000	230	12.2	2806	52900	148.84	230000	12200
8100	1395	287.8	52572.4	273075	12856.69	1255500	249900

จะได้สมการปกติจากความสัมพันธ์  $X'X = X'Y$

โดยที่

$$XX = \begin{bmatrix} n & \sum x_{1i} & \sum x_{2i} \\ \sum x_{1i} & \sum x_{1i}^2 & \sum x_{1i}x_{2i} \\ \sum x_{2i} & \sum x_{1i}x_{2i} & \sum x_{2i}^2 \end{bmatrix}$$

$$= \begin{bmatrix} 9 & 1395 & 287.8 \\ 1395 & 27307 & 52572.4 \\ 287.8 & 52572.4 & 12856.6854 \end{bmatrix}$$

$$XY = \begin{bmatrix} \sum y_i \\ \sum x_{1i}y_i \\ \sum x_{2i}y_i \end{bmatrix} = \begin{bmatrix} 8100 \\ 1255500 \\ 249900 \end{bmatrix}$$

สมการปกติเขียนในรูปอ่าย่างง่ายได้ดังนี้

$$9b_0 + 1395b_1 + 287.8b_2 = 8100 \quad (4.1)$$

$$1395b_0 + 273075b_1 + 52572.4b_2 = 1255500 \quad (4.2)$$

$$287.8b_0 + 52572.4b_1 + 12856.6854b_2 = 249900 \quad (4.3)$$

$$(4.1) \times 401481 \quad 3613329b_0 + 560065995b_1 + 115546231.8b_2 = 3251996100 \quad (4.4)$$

$$(4.2) \times 2590.2 \quad 3613329b_0 + 707318865b_1 + 136173030.5b_2 = 3251996100 \quad (4.5)$$

$$(4.3) \times 12555 \quad 3613329b_0 + 660046482b_1 + 161415685.2b_2 = 3137494500 \quad (4.6)$$

$$(4.5) - (4.4) \quad 147252870b_1 + 20626798.7b_2 = 0 \quad (4.7)$$

$$(4.5) - (4.6) \quad 4727383b_1 - 25242654.7b_2 = 114501600 \quad (4.8)$$

$$(4.7) \times 47272383 \quad 6.960994068 \times 10^{15}b_1 + 9.750779282 \times 10^{14}b_2 = 0 \quad (4.9)$$

$$(4.8) \times 147252870 \quad 6.960994068 \times 10^{15}b_1 - 3.717053351 \times 10^{15}b_2 = 1.683068922 \times 10^{16} \quad (4.10)$$

$$(4.10) - (4.9) \quad -4.692131279 \times 10^{15}b_2 = 1.683068922 \times 10^{16}$$

$$b_2 = -3.593396735$$

$$\text{แทน } b_2 \text{ ใน (4.7)} \quad 147252870b_1 + [(20626798.7)(-3.593396735)] = 0$$

$$b_1 = 0.5033536603$$

$$\text{แทนค่า } b_1, b_2 \text{ ใน (4.1)} \quad 9b_0 + 1395(0.5033536603) + [(287.8)(-3.593396735)] = 8100$$

$$b_0 = 936.8890249$$

ดังนั้น สมการตัดโดยใช้เส้นแบบพหุคูณของค่าประมาณอุณหภูมิเฉลี่ยอยู่ในรูปของ

$$y = 936.89 + 0.50x_1 - 3.59x_2$$

$$\text{หาค่าความแปรปรวนของ } \beta \quad V(\beta) = \sigma^2 (X'X)^{-1}$$

$$\text{หาก } \sigma^2 = S^2 = \text{MSE} = [\bar{Y}\bar{Y} - \beta X\bar{Y}] / (n-k-1)$$

$$\begin{aligned} \beta X\bar{Y} &= [936.8890 \quad 0.5034 \quad -3.5934] \begin{bmatrix} 8100 \\ 1255500 \\ 249900 \end{bmatrix} \\ &= 7322828.94 \end{aligned}$$

$$n[\bar{Y}]^2 = 9[8100/9]^2 = 7290000 \quad \bar{Y}'\bar{Y} = \sum Y_i^2 = 7350000$$

$$SSR = \beta X\bar{Y} - n\bar{Y}^2 = 7322828.94 - 7290000 = 32828.94$$

$$SSE = \bar{Y}\bar{Y} - \beta X\bar{Y} = 7350000 - 7322828.94 = 27171.06$$

ตารางที่ 4.27 การคำนวณค่าสถิติ F ของค่าความแปรปรวน

แหล่งที่มา	องค์ประกอบ	ผลบวกกำลังสอง (SS)	ค่าเฉลี่ยผลบวกกำลังสอง (MS)	ค่าสถิติ F
สมการทดถอย (R)	2	32828.94	16414.47	3.62
ความผิดพลาด (E)	6	27171.06	4528.51	
ทั้งหมด	8	60000		

$$r^2 = \text{SSR} / \text{SST} : 0 < r^2 < 1$$

$$r^2 = 32828.94 / 60000 = 0.5471 : 0 < 0.5471 < 1$$

แสดงว่าตัวแปรสุ่ม X และ Y มีความสัมพันธ์เชิงเส้นอย่างสมบูรณ์

ความแปรผันของค่าตัวแปรสุ่ม Y ที่เป็นผลเนื่องมาจากการมีสัมพันธ์เชิงเส้นกับตัวแปรสุ่ม X คิดเป็น 54.71%

จากสมการทดถอยเชิงเส้นแบบพหุคุณของค่าประมาณอุณหภูมิเฉลี่ยอยู่ในรูปของ

$$y = 936.89 + 0.50x_1 - 3.59x_2$$

สามารถสรุปได้ว่า อัตราการเย็นตัวแปรผันตรงกับค่าความแปรปรวน คือ อัตราการเย็นตัวเพิ่มขึ้น ค่าความเย็นที่จะเพิ่มขึ้นไปด้วย ส่วนอุณหภูมิแรกผันกับค่าความแปรปรวน คือ อุณหภูมิสูงขึ้น ค่าความเย็นจะลดลง เมื่อทำการอนซูบชิ้นงานภายใต้อุณหภูมิที่สูง จะทำให้โครงสร้างของชิ้นงานเปลี่ยนไป

#### 4.5 สมการทดถอยเชิงเส้นของค่าความหนาต่อแรงกระแทก

กำหนดให้  $Y = \text{อุณหภูมิ} (C)$

$X_1 = \text{อัตราการเย็นตัว} (C/s)$

$X_2 = \text{ค่าความหนาต่อแรงกระแทก}$

ตารางที่ 4.28 การคำนวณสมการลดด้อยค่าความทันต่อเร่งกระแทก

$Y$	$X_1$	$X_2$	$X_1 X_2$	$X_1^2$	$X_2^2$	$X_1 Y$	$X_2 Y$
800	190	105.23	19993.7	36100	11073.35	152000	84184
800	230	97.07	22326.1	52900	9422.585	184000	77656
900	190	100.87	19165.3	36100	10174.76	171000	90783
900	230	127.67	29364.1	52900	16299.63	207000	114903
1000	190	151.1	28709	36100	22831.21	190000	151100
1000	230	171.33	39405.9	52900	29353.97	230000	171330
5400	1260	753.27	158964.1	267000	99155.5	1134000	689956

จะได้สมการปกติจากความสัมพันธ์  $X'X = X'Y$

$$\text{โดยที่ } X'X = \begin{bmatrix} n & \sum X_{1i} & \sum X_{2i} \\ \sum X_{1i} & \sum X_{1i}^2 & \sum X_{1i} X_{2i} \\ \sum X_{2i} & \sum X_{1i} X_{2i} & \sum X_{2i}^2 \end{bmatrix}$$

$$= \begin{bmatrix} 6 & 1260 & 753.27 \\ 1260 & 267000 & 158964.1 \\ 753.27 & 158964.1 & 99155.5 \end{bmatrix}$$

$$X'Y = \begin{bmatrix} \sum y_i \\ \sum X_{1i} y_i \\ \sum X_{2i} y_i \end{bmatrix} = \begin{bmatrix} 5400 \\ 1134000 \\ 689956 \end{bmatrix}$$

สมการปกติเขียนในรูปอ่าย่างง่ายได้ดังนี้

$$6b_0 + 1260b_1 + 753.27b_2 = 5400 \quad (4.11)$$

$$1260b_0 + 267000b_1 + 158964.1b_2 = 1134000 \quad (4.12)$$

$$753.27b_0 + 158964.1b_1 + 99155.5b_2 = 689956 \quad (4.13)$$

$$(4.11) \times 949120.2 \quad 5694721.2b_0 + 1195891452b_1 + 714943773.1b_2 = 5125249080 \quad (4.14)$$

$$(4.12) \times 4519.62 \quad 5694721.2b_0 + 1206738540b_1 + 718457325.6b_2 = 5125249080 \quad (4.15)$$

$$(4.13) \times 7560 \quad 5694721.2b_0 + 1201768596b_1 + 749615580b_2 = 5216067360 \quad (4.16)$$

$$(4.15) - (4.14) \quad 7088b_1 + 3513552.5b_2 = 0 \quad (4.17)$$

$$(4.15) - (4.16) \quad 4969944b_1 - 31158254.4b_2 = -90818280 \quad (4.18)$$

$$(4.17) \times 4969944 \quad 5.390941992 \times 10^{13}b_1 + 1.746215917 \times 10^{13}b_2 = 0 \quad (4.19)$$

$$(4.18) \times 1084708 \quad 5.390941992 \times 10^{13}b_1 - 3.379763274 \times 10^{14}b_2 = -9.851138752 \times 10^{14} \quad (4.20)$$

$$(4.19) - (4.20) \quad 3.554384866 \times 10^{14}b_2 = 9.851138752 \times 10^{14}$$

$$b_2 = 2.771545323$$

แทน  $b_2$  ใน (4.17)  $10847088b_1 + [(3513552.5)(2.771545323)] = 0$   
 $b_1 = -0.8977497$

แทนค่า  $b_1, b_2$  ใน (4.11)  $6b_0 + 1260(-0.8977497) + [(753.27)(2.771545323)] = 5400$

$$b_0 = 740.5737795$$

ดังนั้น สมการถดถอยเชิงเส้นแบบพหุคุณของค่าประมาณอุณหภูมิเฉลี่ยอยู่ในรูปของ

$$y = 740.5738 - 0.8977x_1 + 2.7715x_2$$

หาค่าความแปรปรวนของ  $\beta$   $V(\beta) = \sigma^2(X'X)^{-1}$

จาก  $\sigma^2 = S^2 = MSE = [YY - \beta X'Y] / (n-k-1)$

$$\beta X'Y = [740.5738 \quad -0.8977 \quad 2.7715] \begin{bmatrix} 5400 \\ 1134000 \\ 689956 \end{bmatrix}$$

$$= 4893319.774$$

$$n[\bar{Y}]^2 = 9[5400/9]^2 = 3240000 \quad Y'Y = \sum Y_i^2 = 4900000$$

$$SSR = \beta X'Y - n\bar{Y}^2 = 4893319.774 - 3240000 = 1653319.774$$

$$SSE = YY - \beta X'Y = 4900000 - 4893319.774 = 6680.226$$

ตารางที่ 4.29 การคำนวณหาค่าสถิติ F ของค่าความหนาต่อแรงกระแทก

แหล่งที่มา	องค์กร	ผลบวกค่าลังสอง (SS)	ค่าเฉลี่ยผลบวกค่าลังสอง (MS)	ค่าสถิติ F
สมการทดสอบ ( R )	2	1653319.774	826659.887	742.48
ความผิดพลาด ( E )	6	6680.226	1113.371	
ทั้งหมด	8	1660000		

$$r^2 = \text{SSR} / \text{SST} : 0 < r^2 < 1$$

$$r^2 = 1653319.774 / 1660000 = 0.9960 : 0 < 0.9960 < 1$$

แสดงว่าตัวแปรสุ่ม X และ Y มีความสัมพันธ์เชิงเส้นอย่างสมบูรณ์

ความแปรผันของค่าตัวแปรสุ่ม Y ที่เป็นผลเนื่องมาจากการความมีสัมพันธ์เชิงเส้นกับตัวแปรสุ่ม X คิดเป็น 99.60%

จากสมการทดสอบเชิงเส้นแบบพหุคุณของค่าประมาณอุณหภูมิเฉลี่ยอยู่ในรูปของ

$$y = 740.5738 - 0.8977x_1 + 2.7715x_2$$

สามารถสรุปได้ว่า อัตราการเย็บตัวแปรปกติ กับค่าความหนาต่อแรงกระแทก คือ ถ้าอัตราการเย็บตัวเพิ่มขึ้น ค่าความหนาต่อแรงกระแทก ก็จะน้อยลง ส่วนอุณหภูมิแปรผันตรงกับค่าความหนาต่อแรงกระแทก คือ ถ้าอุณหภูมิสูงขึ้น ค่าความหนาต่อแรงกระแทก ก็สูงขึ้นค่วย